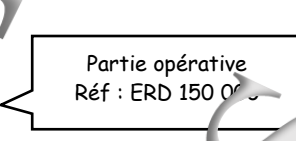
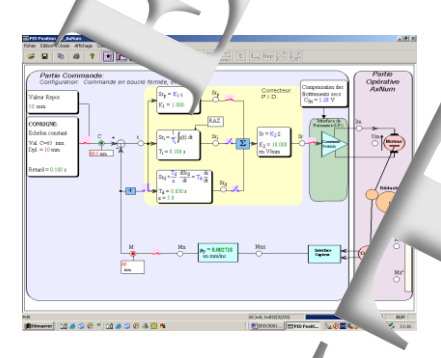
# Asservissemen nesse Posi

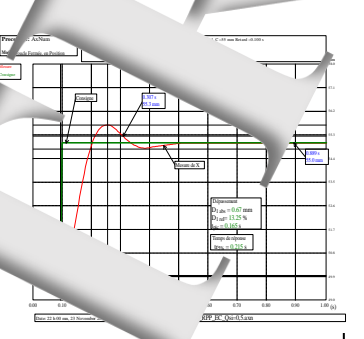


- Sur le syste. AxNum Réf
  Day le domaine linéaire ganta.

Niveau:	CITE 2011				
condaire	4				
Supérieur court	5				









ols gur PC : .50 100 Réf : L

# Manuels de travaux pra iques : sujets et compte rendus

De niveau CITE III (304)

ERD 150 uel Sujets (5 sujets 74 pages) ERD 150 J20 sel Compto rendus (44 pages)

ΓS; IUT; Ingénieur) ERD anuel Sujets (12 sujets 80 pages)

ERD 150 U. on 1 Manuel Comptes rendus 150 040-2 <sup>2</sup>2 Manuel Comptes rendus

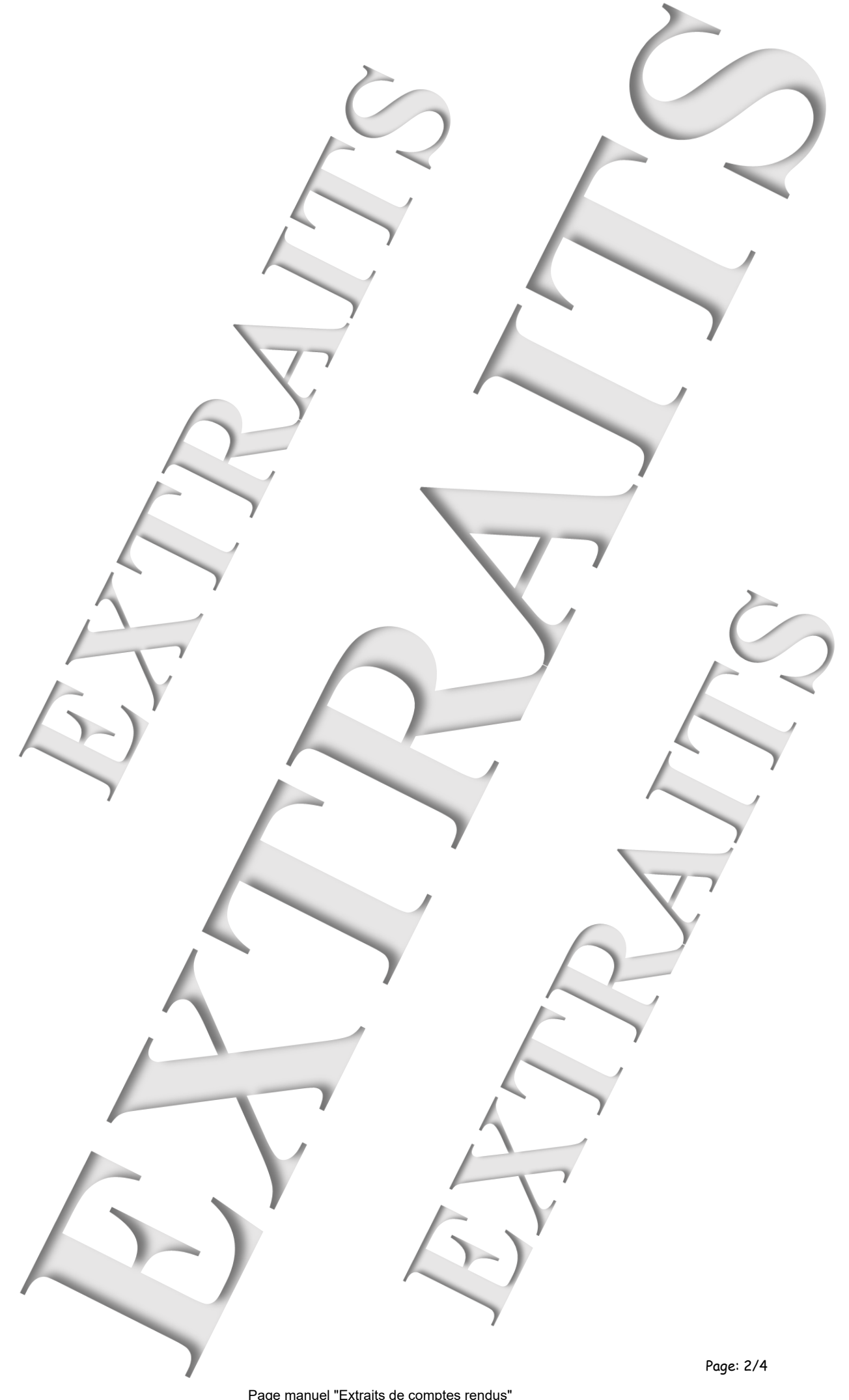
De niveau CITE VII (Domaine numérique)

150 070 Manuel Sujets (6 sujets 98 pages) 760 Manuel Comptes rendus (86 pages)

# Comptes rendus

Auteur: Thierry HANS

Référence document : ERD150 040



Page manuel "Extraits de comptes rendus" 2 sur 36

# SOMMAIRE:

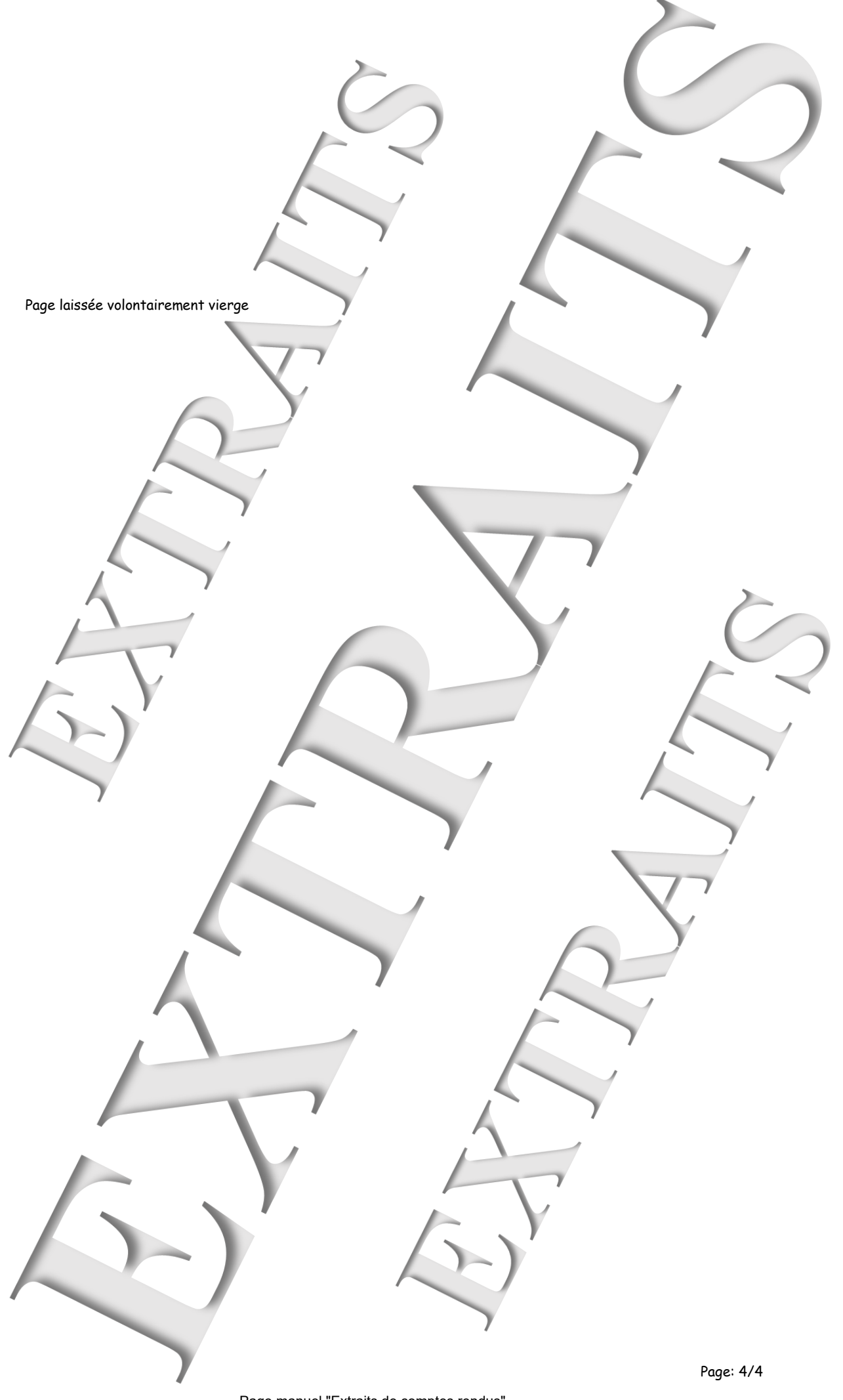
Référence	Thème	ſsge
	Tome n°1	
	Série de Ta aveca antation du moteur	
TP2-1_Cde-I_BO1_CR	Identification en Boucle Ouverte n°1	5
TP2-2_Cde-I_RPP_CR	Régulation : ition avec correction Proportionnelle	17
TP2-3_Cde-I_RPPD_CR	Régulation de Posi. n avec correction Propertionnelle + Dérie	29
TP2-4_Cde-I_Profil_CR	Régulation de Position avec correction/roportionnelle, et commune, profil	39
TP2-5_Cde-I_RPPnl_CR	Régulation de Position avec correction melle et charge	49
	méranique n. "linéaire (avec frottement seconsé)	
	Ser : de Tos avec alimentation du moteur en .	
TP2-6_Cde-U_BO2_CR	The cation en Boucle Ouverte n°2	59
TP2-7_Cde-U_RPP_CR	kes ''-'n de Position avec correction Proportionnelle	75
TP2-8_Cde-U_RPPD_C	Régulation de Position avec co.	85
	Tom n 2	
TP2-9_Cde-U_R7_CR	ulation de Position avec correct. n Pry portionwelle et retour	91
	tachymétrique	
/\_	Série de TPs sur <b>P</b> rototypage <b>R</b> apide	
TP2-10_(	Prototypage rapide eur alimenté en .	101
	Simulation par « 5	
	Synthèse et cor paraison p	/
TP7-11_Cde-U_P?	Prototypage ro `avec mo en U	115
	Simulation po	
	Synthèse et compa. * D_Scil »	7
TP2-12_Cde-1,_PR2	Prototypa rapide avec n. lenté en I et sans comp tion	, 127
	des frot ements secs	

# Remarque:

- Il existe 2 vers ns de sy-- version : équipé d'un n. SMH; livré à par ? 2007
  - ver ion 2 livrées avant 201 / équipé d'un mote r Ma

Version ERD150	Marque moteur	Coeff Réducteur	Tension nominale (V)	Constante R induit de couple (Ω) (Nm/A	. d'induit (mHy)	Vitesse à vide (tr/min)
avant			18	0,07 (	1,03	8010
à parti	- JI H	; 3	24	0,043 4,97	3,77	5400
		_				





Page manuel "Extraits de comptes rendus" 4 sur 36

# **Compte-Rendu**

de Travaux Pratiques sur système AxNum (ERD150)

#### TP n°2 Niveau 2

Réf: TP2-2\_AxNum\_Cde-I\_RPP\_CR.word

# ETUDE FIN BOUCLE FERMEE, EL POS' .c TION PROPORT

Réf: Cde-I

 $C_{(p)}$ 

(en mm)

et:

 $1 + 2.\xi_{\rm F}$ 

 $2.\sqrt{K.\alpha.\mu.\iota_{r}}$ 

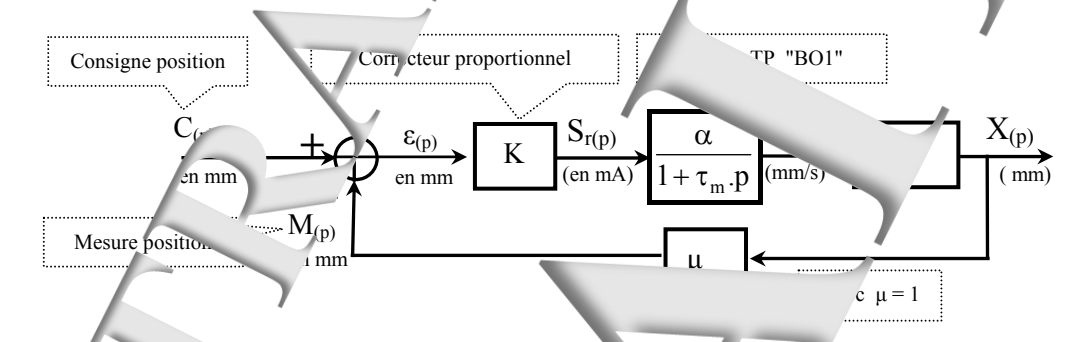
1,47.0,58

1,47

- 'nterface de puissance de type | Commande en Coura.
- ent sec compensé (ou  $\rightarrow$  Avec 1.

# 1. Prédéterminations

# Rappel: Schéma blocs



# Fonction de ransfert en boucle fern $\stackrel{\checkmark}{=} F_{(p)} = X_{(p)}/C_{(p)}$

$$\frac{X_{(p)}}{C_{(p)}} = \frac{K \frac{\alpha}{1+\tau_{m}} \cdot \frac{1}{r}}{1+\tau_{m} \cdot p} \cdot \frac{1}{p} \cdot \mu} = \frac{K.\alpha}{p(1+\tau_{m} \cdot p) + K.\alpha.\mu} = \frac{\frac{K.\alpha}{6.K.\alpha.\mu}}{2+\frac{\tau_{m}}{K.\alpha.\mu}} \cdot \frac{1}{p^{2}} \cdot \frac{K.\alpha}{n} \cdot \frac{1}{p^{2}} \cdot \frac{$$

Par id rification à ec la forme proposée

$$\sigma_{\rm r}^2 = \frac{K.\alpha.\mu}{\tau_{\rm m}}$$
 et  $\frac{2.\xi_{\rm F}}{\omega_{\rm F}} = \frac{1}{K.\alpha.\mu}$   $= \frac{1}{2} K.\alpha.\mu$ 

**Pour obtenir**  $\xi_F = 0.5$  Il faut phoisir K tel que: Kapp. =1

soit: 
$$\rightarrow K = \frac{1}{\alpha.\mu.\tau}$$
  $\omega_{\rm r} = \frac{1}{\tau_{\rm m}}$ 

D'après les résultats "Cde BO1" (α

- **Pour obtenir**  $\xi_F = 0.2$  Il faut choisir K tel que  $K_{\alpha\mu}\tau_m = 6.25$
- **Pour obtenir ure m. rge de phase de M\varphi = 45°**

D'après les résultats "Cde \[ BO1", un déphasage de -135° entre la mesure  $M_x$  et S a été ob \[ \text{nu} \]  $m_{135} = 1,25 \text{ rad/s}$  $tion \omega_{135} = 1,25 \text{ rad/s}$ 

Pour cette puls 
$$\epsilon$$

Pour obtenir un réglage satisfais nt une marge de phase de 45°

faudra sa la propriété 
$$K = \frac{N}{\epsilon} \Big|_{a\omega = \omega_{135}} \approx \frac{1}{\epsilon}$$

$$\frac{\varepsilon}{C_{(p)}} = \frac{X_{(p)}}{C_{(p)}} \cdot \frac{\varepsilon_{(p)}}{X_{(p)}} \cdot \frac{\varepsilon_{(p)}}{1 + K \frac{\alpha}{1 + \tau_{m} \cdot p} \cdot p} \longrightarrow \frac{\varepsilon_{(p)}}{C_{(p)}} = \frac{1}{p(p)}$$

$$\frac{\varepsilon_{(p)}}{C_{(p)}} = \frac{p(1 + \tau_{m}.p)}{p(1 + \tau_{m}.p) + K.\alpha.\mu}$$

Page: 1/12

(en mm)

 $\omega_{\rm F} = 1.7 \, \text{rad} / \text{s}$ 

 $\omega_{\rm F} = 4.3 \, \overline{1 \text{rad/s}}$ 

# 1.2. Comportement en régime st tique

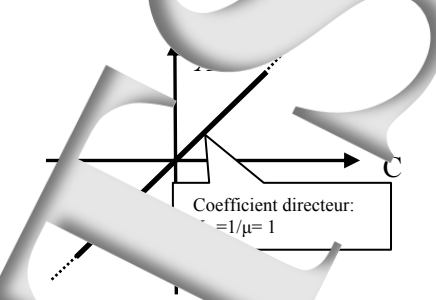
#### Coefficient de transfert statique

Il suffit de faire p= 0 dans la fonction de trans

 $\frac{X}{C} = K_F = \frac{1}{\mu}$ 

Le domaine de validité est imposé par la cap cité de control par la cap cité de control par la cap cité de control par la mesure numérique de position (voir TP "CP")

Pour l'erreur statique:  $\epsilon_s = 0$  donc sr = 0. Le  $\epsilon_s$  eme est donc théoriquement précis statiquement et n'y a pas d'influence de la bande proportionnelle sur la caractéristique



# 1.3. Comportement régin e dynamique

# 1.3.1. Réponse dans le ras c \_\_\_\_\_ommande en échelon constant autour \_\_une position de repos,

# a/ Pour un déplacement dans la jande proportionne

## Expression de la r

avec  $\chi = ArcCos(\xi_F)$ 

 $C_{(t)} = C_0 + A$   $u_{(t)}$  som  $\Delta C_{(t)} = A$   $u_{(t)}$   $u_{(t)}$  est la fonction existence  $\Delta C_{(p)} = \frac{A}{p}$ 

Recherche de la variation de position Soit la transformée de la réporse: à condition que ar à 1

$$\Delta X_{(p)} = \frac{K_F.A}{\frac{p}{F} + \frac{p^2}{\omega_F^2}} \left[ \Delta x \right] = \frac{A}{1 - e^{-\xi_F.\omega_F.t}} \left( \sin(\omega_F \sqrt{1 - \xi_F^2}.t - \chi) \right]$$

Remarque: La réponse est donc pseudo oscillate re (oscillat avec une l'sat un des pseudo oscillations  $\sigma$ 

itude diminue avec le 'amps)

Les amplitudes relatives des pseudo-oscillations sont a la andes que le coefficie d'amortissement est plus petit.

A la limite, pour un coefficient d'amor ssement nul, les oscillation ne diminuent plus. Le système est dit "juste instable"



Page: 2/12

#### Temps de réponse à 5%

Sur l'abaque des temps de réponse réduits on lit:

Pour  $\xi_F = 0.5$ 

$$tr_{5\%} \cdot \omega_F \approx 5$$
  $\rightarrow$   $tr_{5\%} \approx \frac{5}{\omega_F} = \frac{5}{1,7} = 2.5 \cdot S$ 

Pour  $\xi_F = 0,2$ 

$$tr_{5\%}.\omega_F \approx 14$$
  $\rightarrow$   $tr_{5\%} \approx \frac{14}{\omega_F} = \frac{14}{4,31} = 3,25S$ 

### Dépassements

Pour  $\xi_F = 0.5$ 

Sur l'abaque on lit des dépassements relatifs:

- Premier dépassement  $D_{lr}$  0,15=15%
- Deuxième dépasser \* D ..., vzu = 2,5%
  Seul le premier dépassement est s... à 5%

Pour  $\xi_F = 0.2$ 

- Premier dépas sen.  $D_{1_r} \approx 0.5 = 50\%$
- Deuxième dépassement.  $v_{2r} \approx 0.28 = 28\%$
- Troisième 4 spassement:  $D_{3r} \approx 0.15 = 15\%$
- Quatrièr ie de passa at:  $D_{4r} \approx 0.07 = 7\%$ Quatre dép am superieurs à 5%

Pour ... marge de phase de  $M\phi=45^{\circ}$ Usu ellement on obtient un premier dé ment:  $D_{in} \approx 0.15=15\%$ 

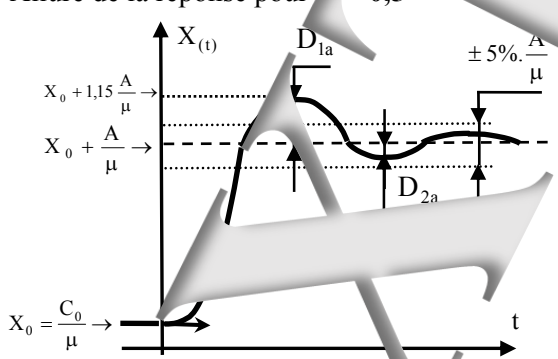
## **☞** Instant do premier dépassem

Pour  $\xi_F = 0.5$ 

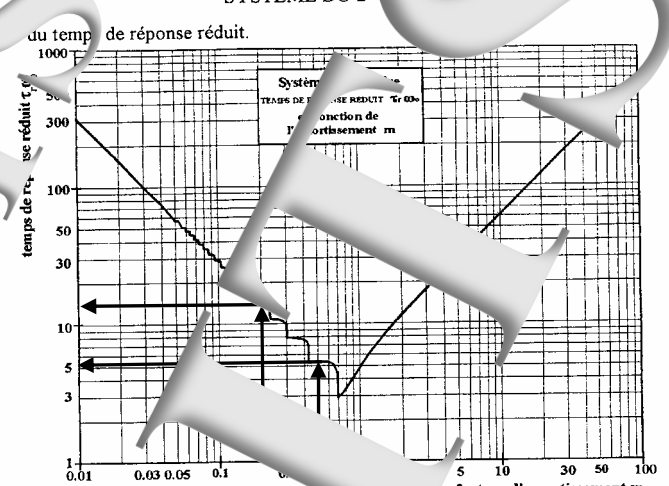
Pour  $\xi_F = 0.2$ 

$$t_{pic} \approx \frac{\pi}{\omega_F \sqrt{1 - \xi^2}} = 2.13$$
 
$$t_{pic} \approx \frac{\pi}{\omega_F \sqrt{1 - \xi^2}} =$$

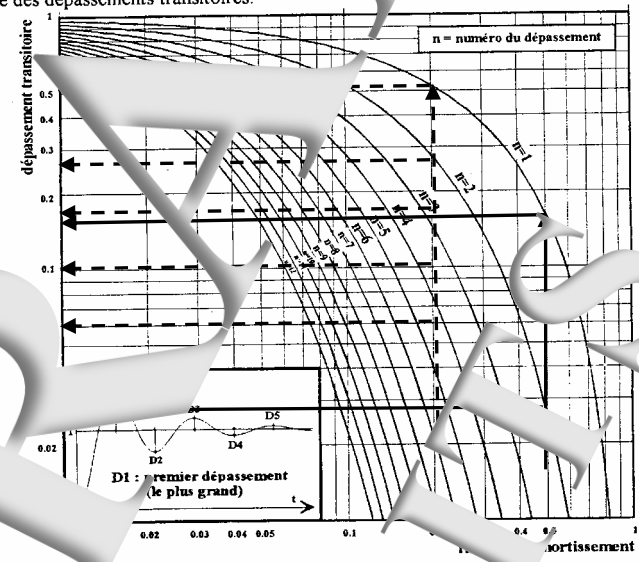
Allure de la réponse pour = 0.5



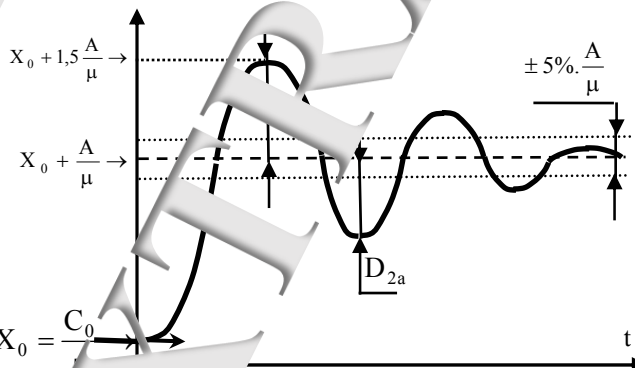
#### SYSTÈME DU 2<sup>èn</sup> PDRF



Abaque des dépassements transitoires



Allure de la réponse pour  $\xi_F = \sqrt{2}$ 



D's ristique de ansfert relevée en TP BO1" on a pu relever Sr<sub>M</sub>=300 mA (limite du domaine

**Pour** 
$$\xi_F = 0.5 \rightarrow A < \frac{Sr_M}{K} = \frac{60}{1.17} = 5 \text{ lmm}$$

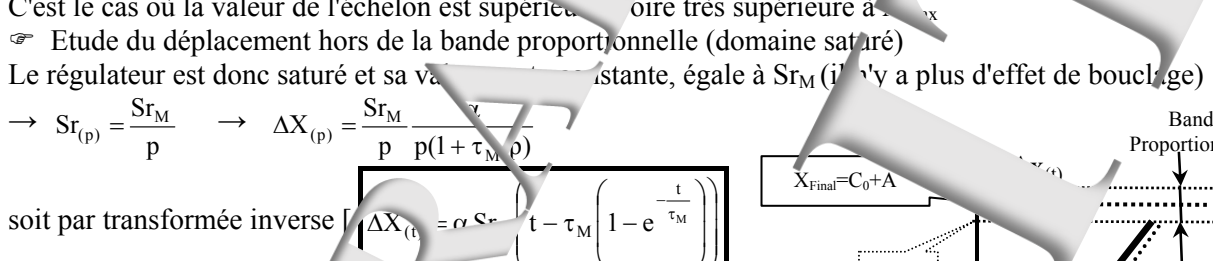
et Po , 
$$\frac{Sr_M}{K} = \frac{60}{7,33}$$

Remarque:

La bande proportionnelle (domaine de position égulateur n'est pas saturé) orrespond donc à  $X_{Final}$ - $A_{Max} \le X \le X_{Final}$   $A_{Max}$ 

#### b/ Pour un déplacement hors bande rtionnelle

C'est le cas où la valeur de l'échelon est supérieure à



Proportionnelle

Ce régime se termine lorsque  $x_{(t)}$  dans la bande

proportionnelle soit:  $Y_{(t)} = C_0 - A_{\text{Max}}$ 

Remarque: La vitesse  $\alpha$  ion n'est autre que  $V_{\text{Max}} = \alpha.Sr_{\text{M}}$ 

Etude du dépla ement après entrée dans la bande proportionnelle

Lorsque x<sub>(t)</sub> entre dans la bande proportionnelle, l'effet du bouclage de fait de nouveau sentir (domaine linéaire), mais a vec de constinuitiales de position et de vitesse.

portionnelle se t  $x_{(0)}=X_1$ , avec pour con Hypothèse: Or \_\_\_\_\_ (t) a partir de l'entrée dans l initiale de vitesse  $v_{(0)}=(t'x/dt)_{(0)}=V_{Max}$ 

L'introducti n des condit ons initiales se fait gr ce au théor /ation appliqué à l'équ 'tion différentie le qui régit le fonctionnement du s' me.

Cette équatrimerer ielle peut être déduit transfert en base s'amée: for nation de Laplace inverse, de la forction de

$$\frac{X_{(p)}}{C_{(p)}} = \frac{1}{1 + 2.\xi_F \frac{p}{\omega_F} + \frac{p^2}{\omega_F^2}} \begin{bmatrix} c_{(t)} = x_{(t)} + \frac{2.\xi}{r} \frac{dx}{dt} + \frac{1}{\omega_F^2} \frac{d^2x}{dt^2} = \Delta. \\ avec: a_1 = \frac{2.\xi_F}{\omega_F} \text{ et } a_2 \end{bmatrix}$$

co respond à une dérivation dans le domaine car une multiplication par p dans domaine temporel.

La transformation de l'équation differentielle permet l'in oduction des conditions in la 
$$C_{(p)} = X_{(p)} + a_1 \left[ p - X_1 \right] + a_2 \left[ p \left( p \cdot X_{(p)} - X_1 \right) - V_{\text{Max}} \right]$$
 Avec  $C_{(p)} = - C_{(p)} - V_{\text{Max}} = C_{(p)} - V_{\text{Max}}$ 

Soit:

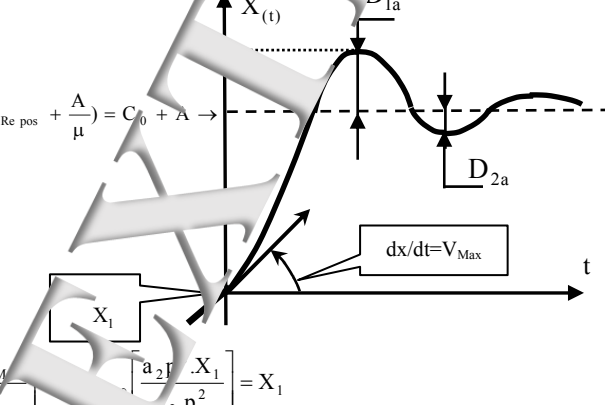
$$X_{(p)} = \frac{\frac{\text{Val}_{C}}{p}}{p} \cdot (a_{1} + a_{2} + a_{3})$$

On en déduit l'expression de  $x_{(t)}$  par tra sformation de Laplace inverse

On peut démor ler, grâce au théorème su la valeur initiale qu'à t' 0+ de ce deuxième l'gime, il y a conservatio de la posi-

$$\lim_{t\to 0+} (X_{.,j}) = \lim_{p\to \infty} \left[ \frac{A_{1}(a_{1}.p + a_{2}p^{2})X_{1} + a_{2}.p.V_{M}}{(1 + a_{1}p + a_{2}.p^{2})} \right] = \frac{a_{2}p}{a_{2}p}$$

On démontre de la m a'il y a conservation du vecteur vites se:



Page: 4/12

$$lim_{t\to 0+} \left(\frac{dX_{(t)}}{dt}\right) = lim_{p\to \infty} \left(p\left(p.X_{(p)}-X_1\right)\right) = lim_{p\to \infty} \left[\frac{p.A-(a_1.p^2 - b.A-(a_2.p^2.V_{Max}-p(1+a_1.p+a_2.p^2.V_{Max}$$

La vitesse initiale étant positive, les dépressements recuits sont plus grands c coux donnés par les abaques. Mais la valeur de A étant très cortante, il est probable que ces epassements seront a e domaine des  $\pm 0,05$ .A

Une valeur approchée du temps de réponse à 5% peut être déterminée en supposant déplacement d'une valeur égale à 0,95.A, à la vite et en temps compte du décalage  $\tau_m$ .

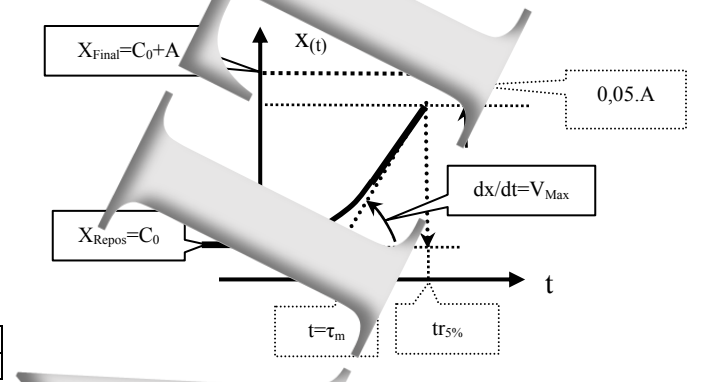
Soit:

$$tr_{5\%} \approx \frac{0.95.A}{V_{Max}} + \tau_{m}$$

Application numérique:

Pour des déplacements de 100; puis 100 et enfin 200mm et pour V<sub>Max</sub>= 105 h. 1/s (déterminé lors du TP "RO1")

II DOI)			
Déplacement	100	150	200
tr <sub>5%</sub> ≈	1,48S	^+	2,39



#### 

Le régime just instable. être obtenu si, pour une pulsatic partir alière  $\eta$  stée  $\omega_{osc}$ , le déphasage entre la mesure et la sortie du régulateur vaut -180°. D'après le TP "BO" ette propriété est obtenue pour la

pulsation 
$$\omega_{180} = 11.3 \text{ ro}^{3}/\text{s} \rightarrow \boxed{\omega_{\text{osc}} = \omega_{180} = 11,3 \text{rad/s}} \rightarrow T_{\text{osc}} = \frac{2.7}{\omega_{\text{osc}}} = 0,56 \text{s}$$

D'autre part, ce n'gime juste instable sera o'  $\dots$  pefficient d'act on proportionnelle permet a obtenir la pro  $\dots$  été  $\left\|\frac{M_x}{M_x}\right\|_{x=1}$ .

Or low TP "301", à la pulsation 
$$\omega_{\text{osc}}$$
 then  $\left\| \frac{M}{S'} \right\|_{\dot{a}\omega = \omega_{\text{osc}}} = G_{\text{X/sr180}} = 0.015$ 

On en déduit la valeur du coeffici distion proports qui conduit au régime juste ble

$$K \cdot \left\| \frac{M_x}{Sr} \right\|_{a\omega = \omega_{opt}} = K.0,015 = 1$$
 soit  $r = \frac{1}{0.015} = 66,7$ 

On obtiendra alors, pour une co. 'ante, un évolution sinusoïdale de X, de pul ation  $\omega_{osc}$ .

# 1.3.2. Comportement en régime harmon, que établi autour d'une procédir de repos

Le système étant liné :, la réponse en position à une consigne  $C_{(t)} = C_{(t)} = C_{(t)}$  aura pour expression:  $x_{(t)} = X_0 - X_1 \sin(\omega.t + \phi_{(x/c)})$ 

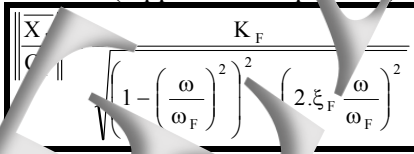
#### Fonction de transfert 'n régime harmorique établi

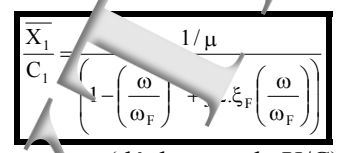
On fait  $p=j\omega$  dan la fonction de .t.

$$\frac{\overline{X_1}}{C_1} = \frac{1}{1+2}$$

$$\omega_F \qquad \omega_F^2$$

soit le module (rapport des amp. tudes)





et l'argument (déphesage de X/C)

$$\phi_{(X_1/C_1)} = -ATAN \left[ \frac{2.\xi_F \frac{\omega}{\omega_F}}{1 - \left(\frac{\omega}{\omega_F}\right)^2} \right]$$

En coordonnées réduites  $u = \omega / \omega_F$  et pour  $\xi_F = 0.5$ 

$$\left\| \frac{\overline{X_1}}{C_1} \right\| = \frac{K_F}{\sqrt{(1 - (u)^2)^2 + u^2}}$$
 et

$$\phi_{(X_1/C_1)} = -r \left( \frac{u}{1 - (u)^2} \right)$$

En coordonnées réduites  $u = \omega / \omega_F$  et pour 2

et

$$\left\| \frac{\overline{X_1}}{C_1} \right\| = \frac{K_F}{\sqrt{(1 - (u)^2)^2 + (0, 4.u)^2}}$$

$$\varphi_{\left(X_{1}/C_{1}\right)} = -\Gamma AN\left(\frac{0,4.u}{1-\left(u\right)^{2}}\right)$$

#### Phénomène de résonance

Pour la pulsation particulière  $\omega = \omega$   $\omega = \omega$  le module de la fon ion de transfert passe par un maximum. Cela veut dire que le rapport des amplitudes sera, pour cet supérieur à  $K_F$  (donc supérieur à 1.

Pour 
$$\xi_F = 0.5$$
  $u = \sqrt{1 - 2.\xi^2} = 0.7$  soit  $\omega_{R^2}$  1,2rad/s

$$\rightarrow$$
 rapport des ar ":+ude  $||C_1|| = 1,1$ 

et déphasage

$$\phi_{(X_1/C_1)} = -54,7^{\circ}$$

Pour  $\xi_F = 0.2$   $u = \sqrt{1-1}^{-2} = 0.96$  soit  $\omega_R = 4.14 \text{rad/s}$ 

$$\rightarrow$$
 rapport des ampire des  $\left\| \frac{\overline{X_1}}{C_1} \right\| = 2,55$ 

# $\frac{\overline{X}_1}{|C_1|} = 2,55$ et déphasage $\phi_{(X_1)} = 1/8$

# Bande passante à 2 17

#### Pour $\xi_F = 0.5$

Sachant que  ${}^{9}0.\log(\sqrt{2})={}^{2}$  la bande passante à  $\cdot$  dB est or ue par  $\cdot$  ion de soit en posant  $\cdot x = u^{2}$   $\rightarrow (1-x)^{2} + x = 2$   $\rightarrow (1-x)^{2}$ 

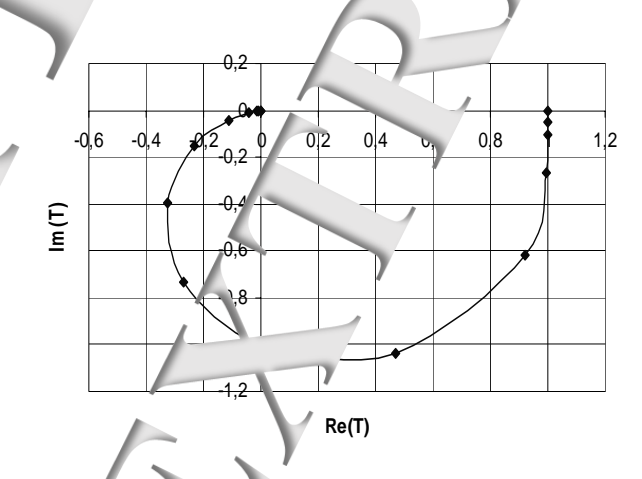
## Pour $\xi_F = 0.2$

Sachant que 20.log( $\sqrt{2}$ )=3, la bande pas inte a -3dB est obtend. It la solution de soit en posant  $x = u^2$   $\rightarrow (1-x)^2 + 16.x = 2$   $\rightarrow 1-2.x + x^2 + 0.16.x = 2$   $\rightarrow x^2 - x - 1.84.x = 0$   $\rightarrow x = 1.846$   $\rightarrow u = 1.395$   $\rightarrow 395.\omega_F$ 

# Lieu de transfert dans le plan le Nyquist

#### Pour $\xi_F$ =0,5:

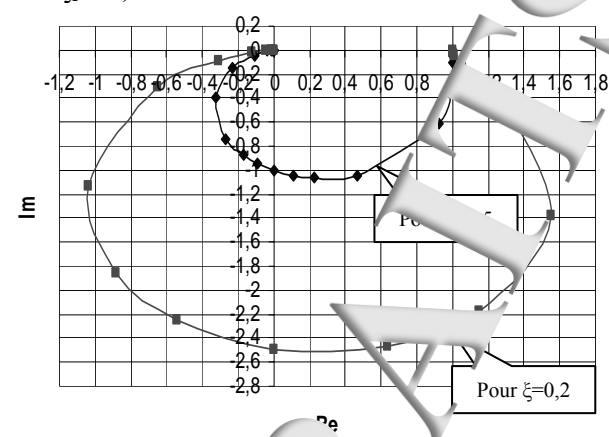
Argument en rad	Module/K <sub>F</sub>
0	1
-0,050	,0012
-0,100	
-0,5	
-9	1,154
-1,57	1
-1,920	0,782
-2,203	0,512
-2,551	2773
-2,9.	0,0
-3,039	0,01
	0,0 11
	0 -0,050 -0,100 -0,5 -0 -1,57 -1,920 -2,203 -2,551 -2,93



On remarque que  $\gamma = e^{-\beta}$ , on a un module relatif égal a  $\epsilon$  un argument égal à -90°

Page: 6/12

Pour  $\xi_F = 0.2$ 



# Phénomène de ré nanc

On rappelle que dès que afficient d'amortissement  $\xi$  est inférieur à 0,707 s' ...  $(\sqrt{2})/2$  produit le phénomènt résonance (le mo alle passe par un maximum).

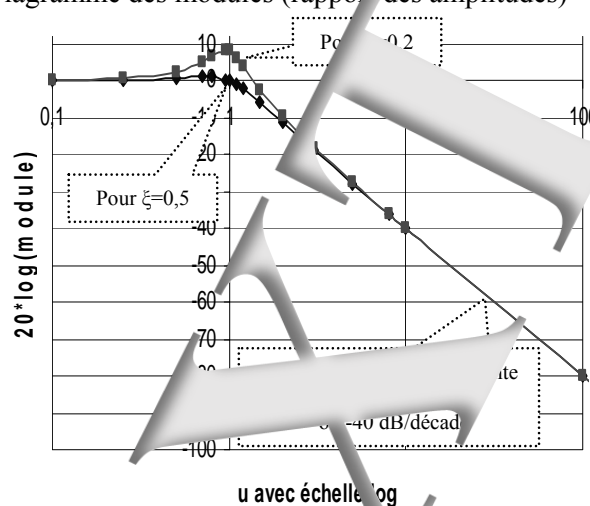
La pulsation pour le se produit ce maximum (notée a

a pour expression:  $\omega_R = \sqrt{1 - 2\xi^2}$ 

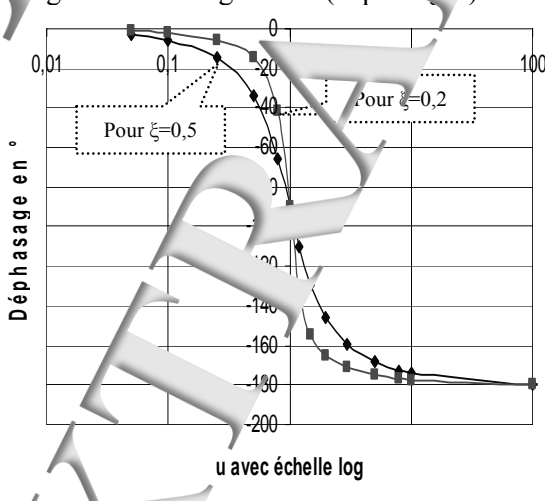
	Valeur.	
u	٩rgument	Module
0	0	
0,0	-0,02004744	1,00230482
	<sup>^</sup> 40 <u>38208</u>	1,00927753
0,25		1,06064981
0,5	-0,2	831325
8	-0,72664234	2,076137
0,9	-1,08517423	2,45662431
0,95	-1,31963536	2,54901195
	-1,3652	2,5515
	1 57	2,5
1,05	_3	2,31306634
1,1	-2,0 0472	2,05109327
1,2	-2,31115094	1,53573779
	<u>2,69248002</u>	0,72121845
	-2,87939761	0,32207831
3	-2,99111005	0,12361704
5	-3,05685877	0,04152274
8	-3,08924996	0,0159
,	-3,09961792	0 1009278
100	-3,13599962	0,0
1000	-3,1396	1E-06

#### Tieux dans le plan de Bode

Diagramme des modules (rappor des amplitudes)



agramme des arguments (déphas. s)



#### Remar ues:

Lorse de le coefi ent d'amoi de ment diminue, le ma simum du module augmente et la rotation de phase au y de le pulsation propre est plus rapide.

Trutes des argur ents passe par -90° à la pus nropre (à u=1).

# 2. CARACTERISATION EN REGIM STATIQUE

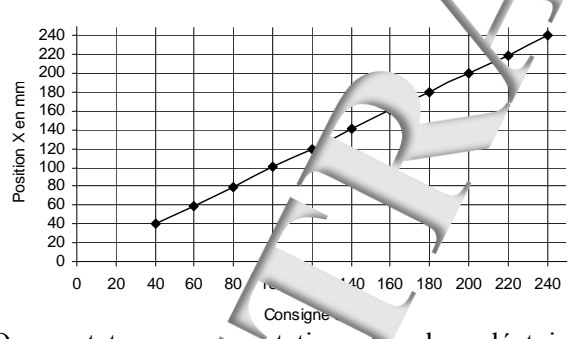
Relevé de la caractéristique de transfert statique Conditions de l'essai et mode opératoire:

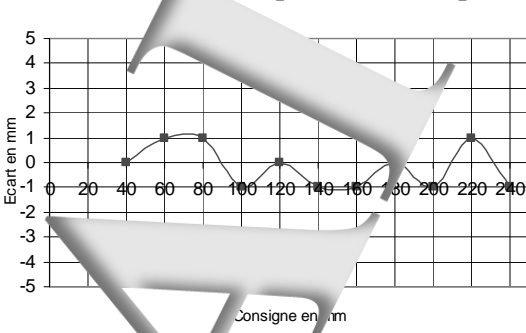
- Caractéristique de la charge mécanique: Cfsi =

Tableau de mesure et calcul de l'erreur statique no.

Consigne C en mm	40	60	80	10/	120	140	160	180	200		240
Mesure X en mm	40	59	79	101		/ 141	161	180	201	21.	
Ecart en mmm	0	1	1	-1	0	-1	-1	0	-1	1	

Caractéristiques de transfert stat.





On constate une erreur statique  $\alpha$  valeur aléatoire, dans la plage  $\pm C_0$ . Ce le erreur statique est due au frottement sec qui n'est pas compensé à 100%.

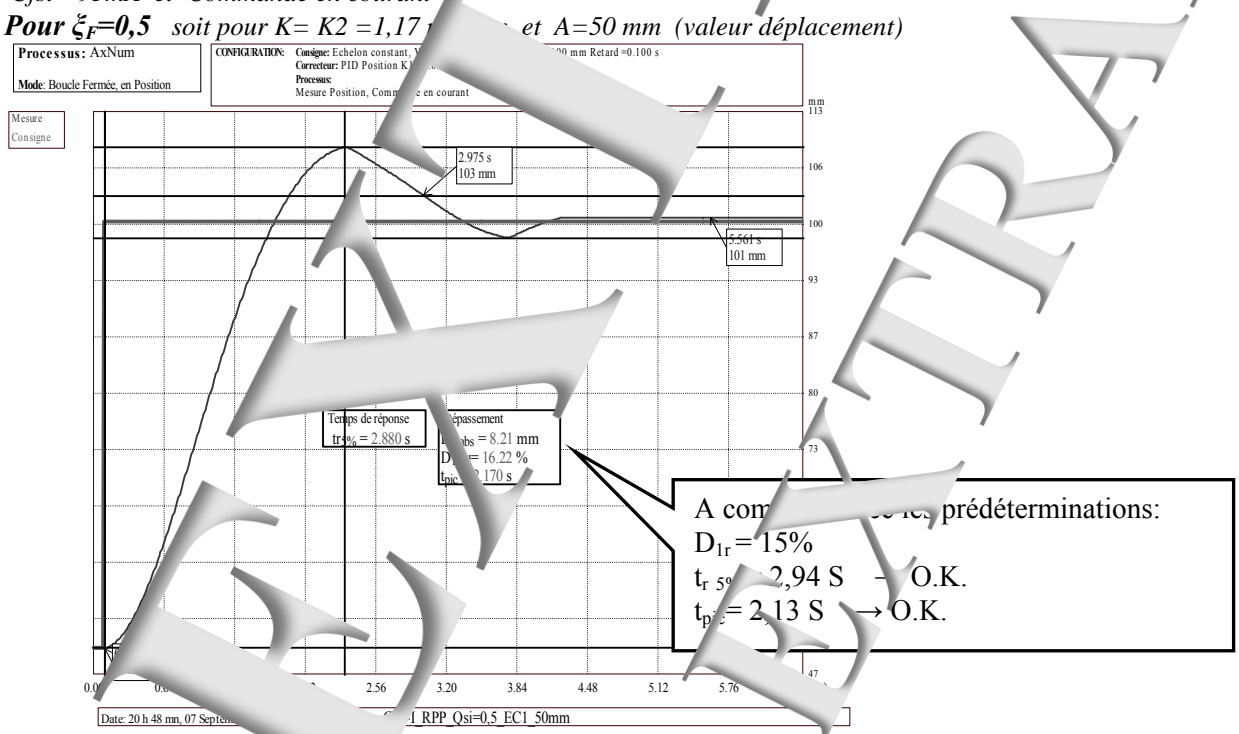
# 3. CARAC. \_\_NOALION EN DY QUE

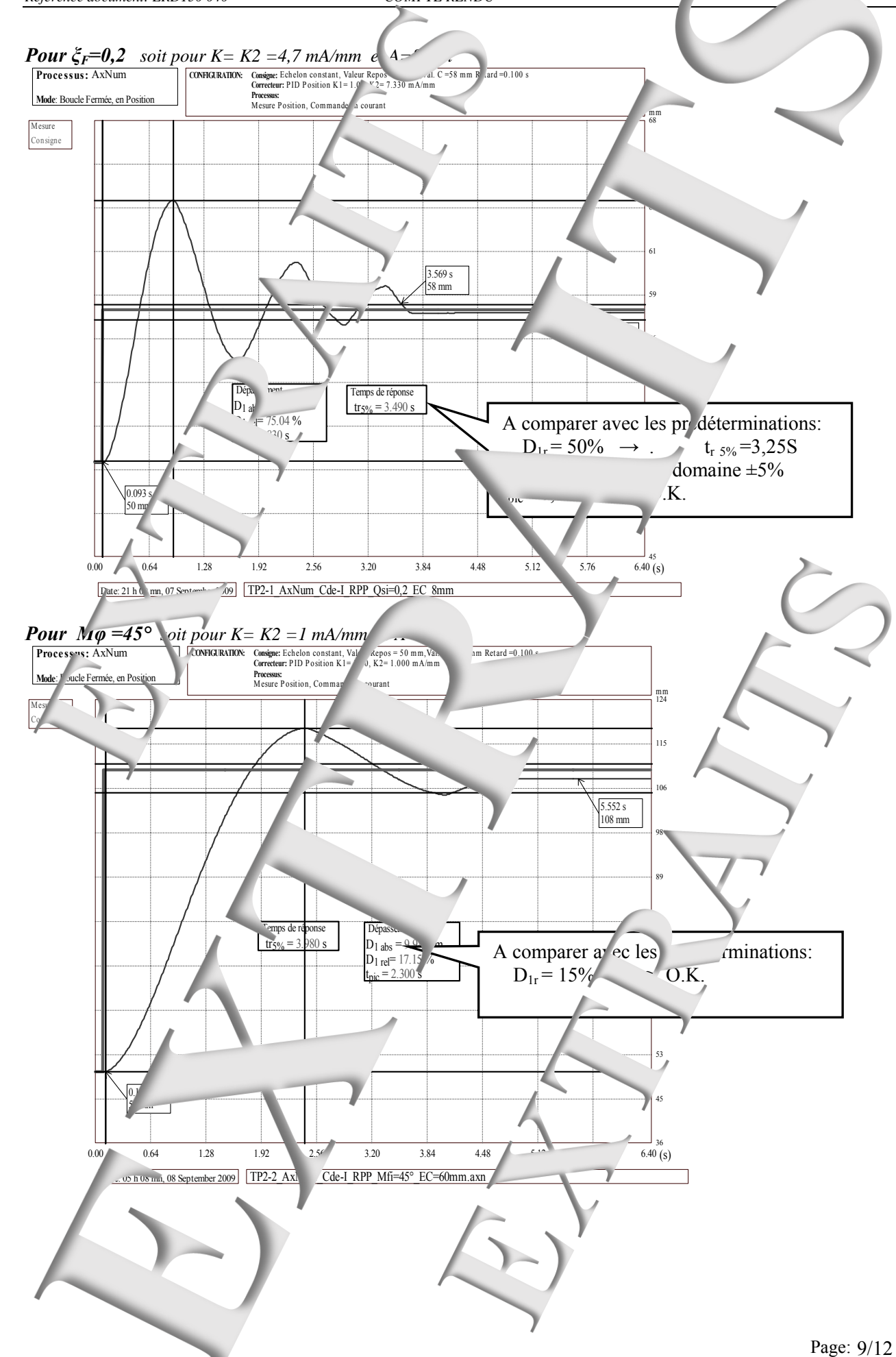
# 3.1. Reponse à un échelon co rant

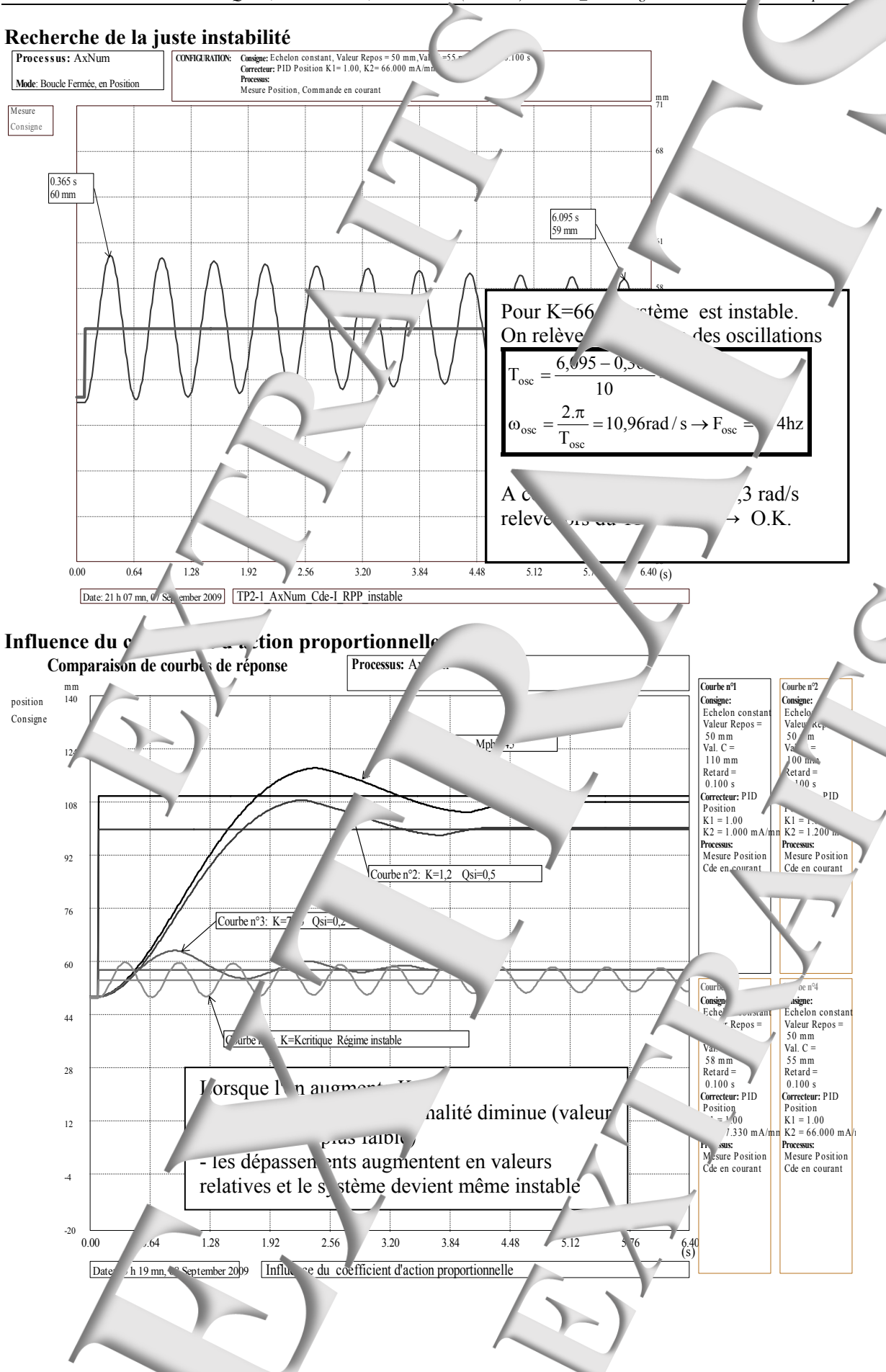
## 3.1.1. re 'éplacements (dans la pa. rtionnelle du régulateur)

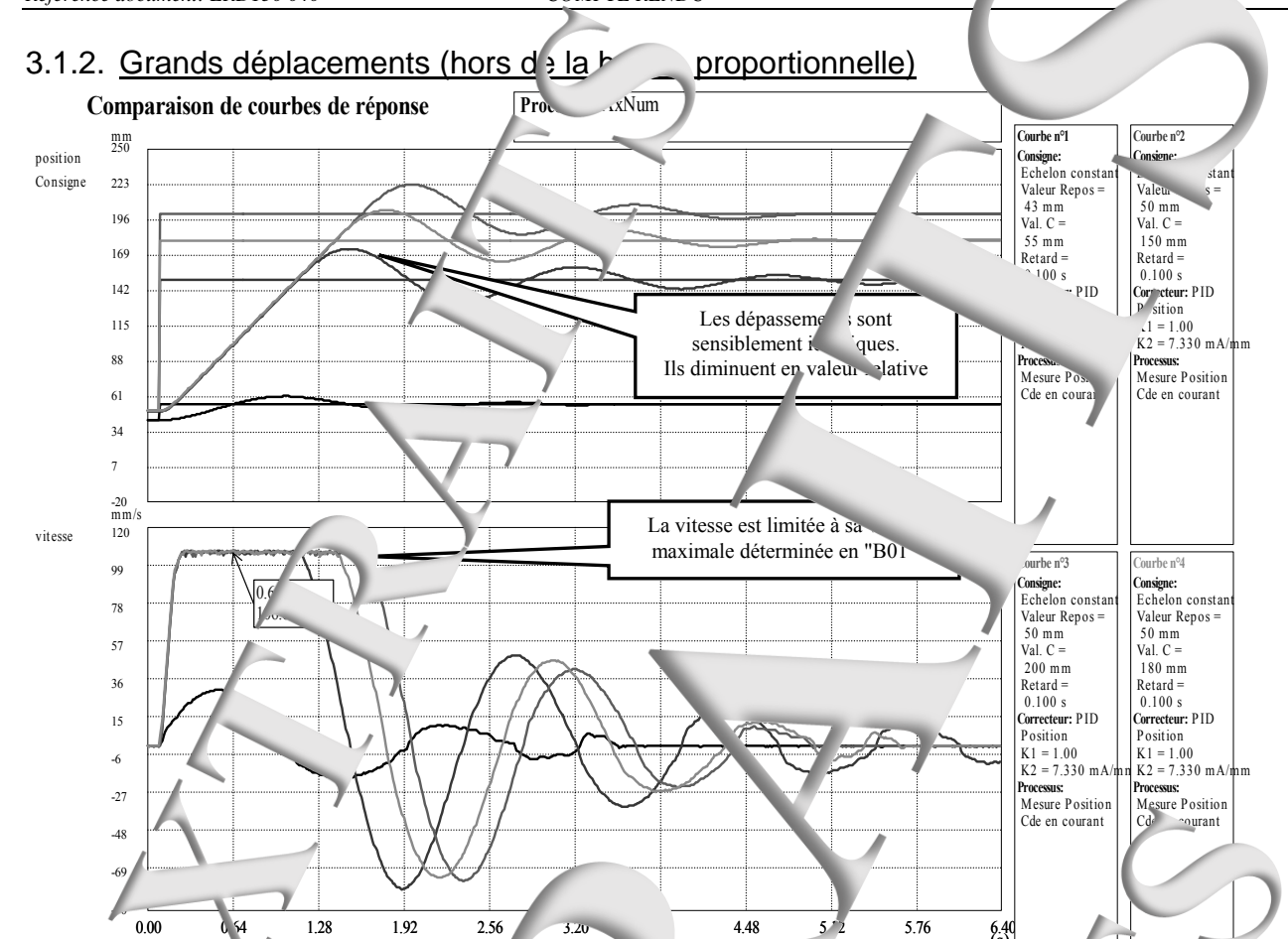
# Relevés expérime. .aux

Conditions des essais:



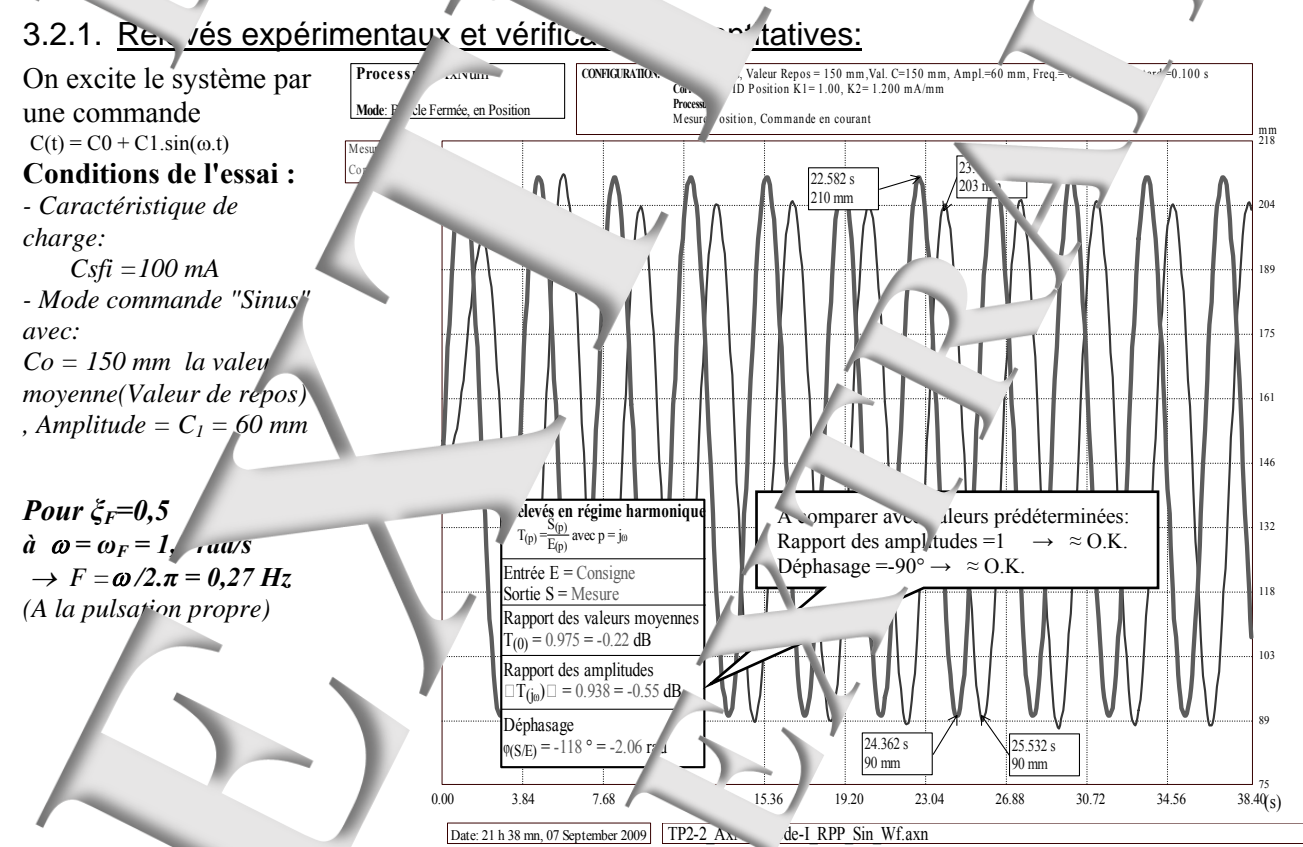


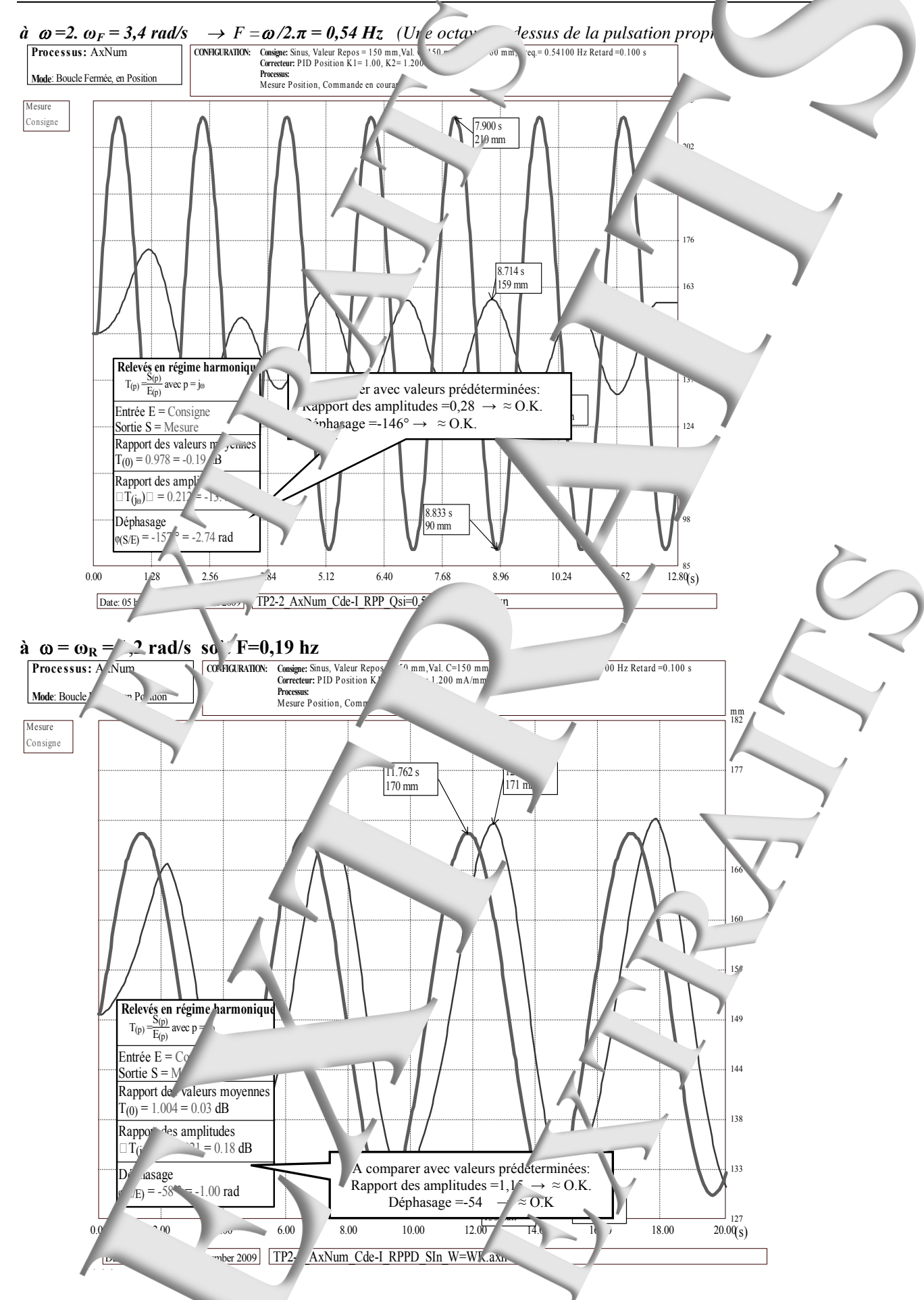




# 3. Comportement en r usoïdal

Date: 22 h 00 m , 07 September 2009 Influence du placement à effe





## Compte-Rendu

de Travaux Pratiques sur système AxNum (ERD150)

# Niveau 2 TP N° 9

Réf fich.:

TP2-9\_AxNum\_Cde-U\_RP-RT\_Compte-Rendu.word

ETUDE FIN BOUCLE FERMEE, EL POS' CORR FO' JIN PAR RETOUR TA RIQUE Réf: Cde-U\_PPD

- → A re Interface de puissance de type " ommande en Tens."
- → Ave tement sec intrinsèque con tensé

# 1. Prédéterminations

# 1.1. Rappel des hy

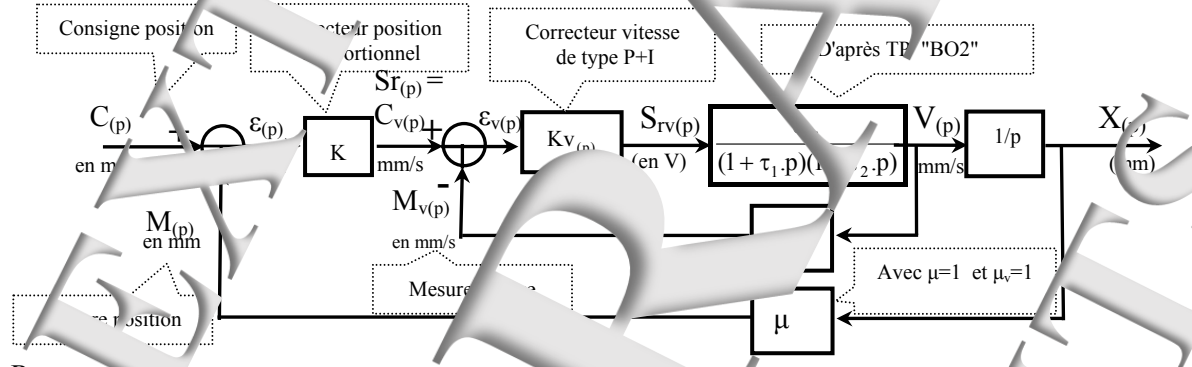
Dans ce TP on envisage un asservimement de position avec come métrique. C'est un système à deux boucles:

- une boucle ex .... n position
- une boucle i 'terne se.

Le correcteur externe reur position) est un correcteur simplement proportionnel.

Le correcteur inter correcteur de type P+I.

Si le frottement s' c est compensé, on peut admettre le sc mée, en position:



Remarque.

La sortie du régulateur de position est aussi la de vitesse  $(Cv_{(p)})$  de la be de vitesse

# 1.2. Réglage et com vortement de la boucle interne (boucle de vitesse)

Soit un correcteur de type P' ac transfert  $K_{v_{(p)}} = K \frac{1 + Ti.p}{Ti.p}$  avec  $TI = \tau I$ 

 $\textbf{F}_{v(p)} = V_{(p)}/Cv_{(p)}$ 

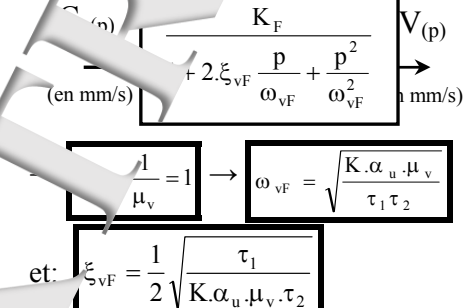
Après avoir effectué la simplinication qui s'impos car on choisit:

 $Ti = \tau_1 = 0.03S \text{ (d'aprè ''Cde-U_BO2'')}$ 

$$\frac{V_{(p)}}{C_{\nu(p)}} = \frac{K \frac{\alpha_u}{\tau_1.p.(1+\tau_2.p)}}{1+K \frac{\alpha_u}{\tau_1.p.(1+\frac{\tau_1}{v_1}.\mu_V)}} = \frac{K.\alpha_u}{\tau_1.p.(1+\tau_2.p)+V} - \frac{\frac{1}{\mu_V}}{1+\frac{\tau_1}{K.\alpha_u.\mu_V}} p + \frac{\tau_1.\tau_2}{K.\alpha_u.\mu_V} p^2$$

Par identificati

$$\omega_{vF}^2 = \frac{K.c_{u}.\mu_{V}}{\tau_{1}.\tau_{2}} \quad \text{et} \quad \frac{2.\xi_{V}}{\omega_{vF}} = \frac{\tau_{I}}{K.\alpha_{u}.\mu_{V}} \quad \text{soit: } \xi_{vF} = \frac{\omega_{vF}}{2.K.\alpha_{u}.\mu_{V}}$$



#### Régle se imposé

D'aprè les résultats obtenu. en Tl Cde-U\_B02 et pour  $^{\circ}$ btenir  $\xi_{vF}$  = 1

il fav 3 choisir 
$$\frac{\tau_1}{4.\alpha_{\rm u}.\mu_{\rm v}\tau_2}$$
  $\frac{0.03}{4.4.89.1.0,0073}$  soit:  $\frac{K=0.21}{0.000}$  et la pt sation propre vaudra:  $\frac{\omega_{\rm vF}}{\omega_{\rm vF}} = 68.5 \, {\rm rad/s}$ 

#### Réponse à un échelon de consigne vitesse cor stant

$$Cv_{(t)} = A .u_{(t)}$$
 ]  $Cv_{(p)} = \frac{A}{p}$ 

On en déduit la transformée de Laplace de la VII.

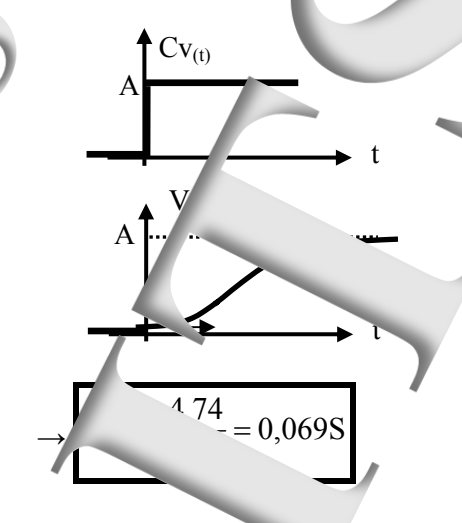
$$V_{(p)} = T_{F(p)}.C_{(p)}$$
 d'où:  $V_{(p)} = \frac{p}{p}$ 

Par transformée inverse, on en déduit l'express.  $V_{(t)} = A (1 - (1 + \omega_{vF} .t) e^{-\omega_{F}.t})$ 

$$V_{(t)} = A (1 - (1 + \omega_{vF}.t)e^{-\omega_{F}.t})$$

→ réponse apériodique avec une pent .... Le temps de réponse à 5% est solution à

$$V_{(t)} = A(1 - (1 + \omega_{vF}.t)e^{-\omega_{vF}.t}) = 0.95.A$$



#### Réponse à une excitation sinus de pulsation ω<sub>vF.</sub>

 $C_1.\sin(\omega.t)$ Soit le signal d'excitation:

Le système étant linéaire  $= V_1.\sin(\omega.t+\phi)$ 

Dans ce cas, on peut ex rimer la fonction de transfert sous la la plexe

Dans ce cas, on peut ex rimer la fonction de transfert sous la r

(en faisant 
$$p = j.\omega$$
)
$$\frac{1}{C_1} (r - \frac{1}{\omega_{vF}})^2 \quad \text{où} \quad C_1 \text{ est pris comm} \quad \text{origine es pnaces}$$

Rapport des amplia des à la pulsation imposée  $\omega = \omega_{vF}$ :

$$\frac{|V_1|}{|C_1|} = \left| \frac{1}{(1 + j.\omega/\omega_v)^2} \right| = \frac{1}{(\sqrt{1 + \omega^2/\omega_{vF}^2})^2} = 0.5$$

et le déphasage:

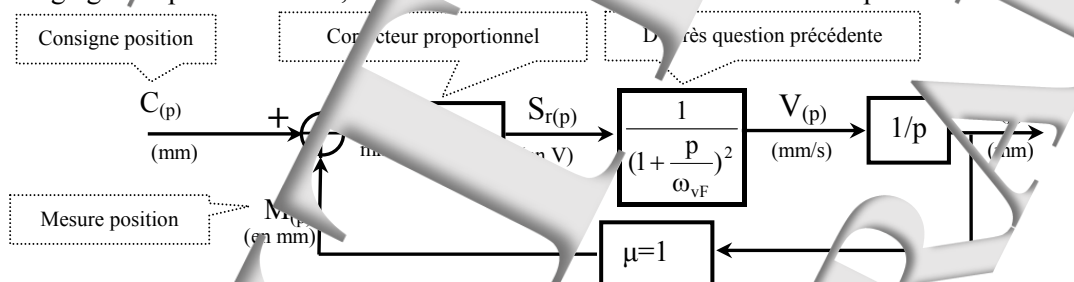
$$\varphi_{(/C_y)} = \text{Arg} \left[ \frac{1}{(1 + j.\omega/\omega_{vF})^2} \right] -2.A.$$

$$(\omega_{\rm vF}) = -\frac{\pi}{2} = -60^{\circ}$$

#### 1.3. a de la boucle extern.

le de position) oc donné ci-après

D'après le réglage tait précédemment, or sut admettre le

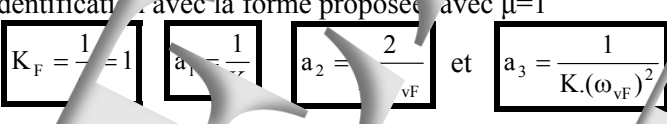


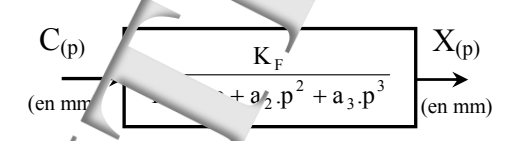
#### 1.3.1. Fonction de transfer en boucle fermée

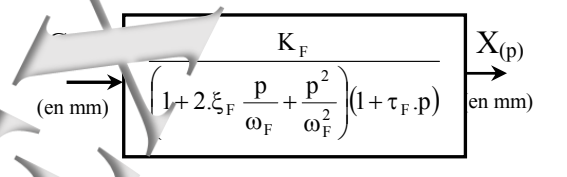
$$F_{(p)} = X_{(p)}/C_{(p)}$$
 r is e sous a factor of ci-contre.

$$\frac{X_{(p)}}{C_{(p)}} = \frac{K.}{p(1+p/\omega_{vF})^2 + J.\mu} \frac{1}{1+\frac{1}{K\mu}p + \frac{2}{K\mu\omega_{vh}}p^2 + \frac{1}{K\mu(\omega_{vF})^2}p^3}$$

Par identificati  $\lambda$  avec la forme proposée avec  $\mu=1$ 







F Identification avec la forme proposée:

On obtient le système d'équation

$$_{(1)} \boxed{\frac{2.\xi_F}{\omega_F} + \tau_F = \frac{1}{K}}$$

(2) 
$$\frac{2/\sum_{F} \tau_{F}}{\omega_{F}} + \frac{1}{\omega_{F}^{2}} \cdot \frac{2}{K.\omega_{vF}} \quad \text{et} \quad$$

et (3)  $K.(\omega_{vF})$ 

K<sub>F</sub> est le coefficient de transfer en be **F**ermée  $\zeta_F$  est le "coefficient d'amortissement bouch. Fermée ω<sub>F</sub> est la pulsation propre en vicle Fermée en rad/S: τ<sub>F</sub> est une constante de temps che Fermée en S

Si on choisit 
$$\xi_F = 0.5$$

(1) 
$$\frac{1}{\omega_F} + \tau_F = \frac{1}{K}$$
  $\omega_F - \omega_F = \frac{2}{K \cdot \omega_{vF}}$  et (3)  $\frac{\tau_F}{\omega^2}$   $\frac{1}{\omega_F}$ 

Si on divise la première ion par F, elle devient égale à la deuxien. On en déduit l'expression de De

$$\frac{\omega_{\rm vF}}{2} = \frac{\omega_{\rm vF}}{2} = 34,25 \,{\rm rad/s}$$

equations: (1)  $\frac{2}{\omega_{vF}} + \tau_F = \frac{1}{\kappa}$  et (3)  $4.\tau_F = \frac{1}{\kappa}$ On a ensuite un système a

dont la solutior est.

$$K = \frac{3.\omega_{vF}}{8} \quad \text{et} \quad \tau_F = \frac{3}{3}$$

D'après les rés iltats obtenus précédemment:  $\omega_{vF} = 68,5 \text{ rad/s}$ 

$$\kappa$$
 25,7 et  $\tau_F = 0.0097S$ 

# 1.3.2 Comporte ment en régime st lique

© Coefficient de transfert statique: K

'èr le est conc précis statiqueme "st ... gue est donc nulle.

# 1.3.3. Con vortement en régime dynamic

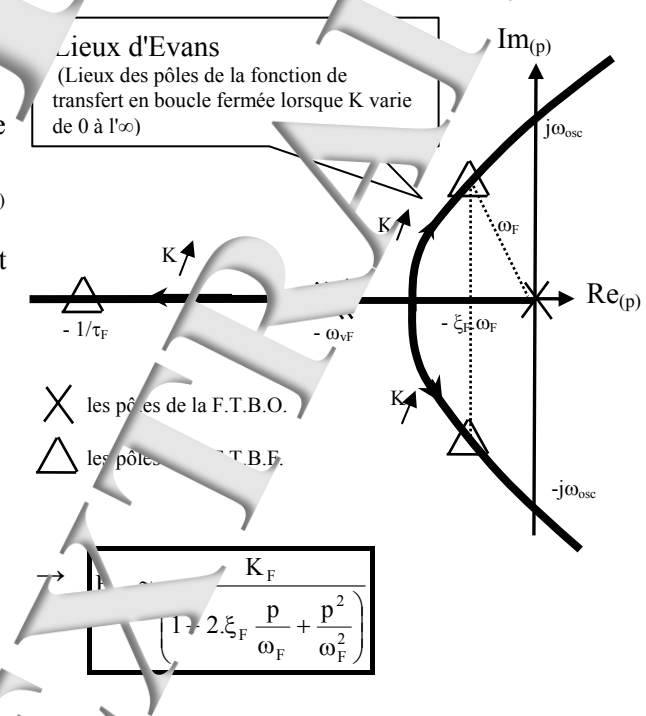
# Régime dominant

Le comportement en régime dy amique dépend des pôles de sa fonction de transfe spôles dépendent de nnelle K. la valeur du coefficient d'acti ^1es de F<sub>(p)</sub> D'après le tracé des lieux d'vans lorsque l'on fait varier K (d 0) à  $(1)^{\infty}$ , on 2 pôles complexes conjugue sont dominants port au pôle réel car ils sont situés plus près de l'origir Le pôle réel pourra êt négligé si l'inégalité

 $1/\tau_F>5*(\xi_F.\omega_F~~est~satisfaite.$  Soit, dans notre cas, pour  $\xi_F=0.5~~1/\tau_F>2.5.\omega_F$ D'après l'applicat on numé, que

 $1/\tau_F=100$ 

On pourra dor me simpli iée de la fonction de transfert en boucle fermée ci-contre:



#### a/ Comportement en régime d'échelon constant

d'u <u>1e po</u>sition de repos  $C_{(t)} = A . u_{(t)}$  où  $u_{(t)}$  est la fonction existence

Soit 
$$X_{(p)} \approx \frac{K_F.A}{p \left(1 + 2.\xi_F \frac{p}{\omega_F} + \frac{p^2}{\omega_F^2}\right)}$$

A condition que le coefficient d'amortissement so aférieur à 1.

La réponse est donc pseudo oscillatoire (oscillations dont l'amplitude di ninue avec le temps) avec ne

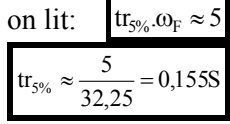
 $=32,25\sqrt{1-0,25}=281$ pulsation des pseudo oscillations soit une pseudo période égale 0,22S.

L'instant du dépassement, noté \* se produi à une demi pseudo période son.

# $^{1/2}$ = 0.11 s

#### Temps de réponse à 5%

Sur l'abaque des temps de ré nse



#### - Dépassements

Sur l'abaque des dépassements en valeur relative, on lit:

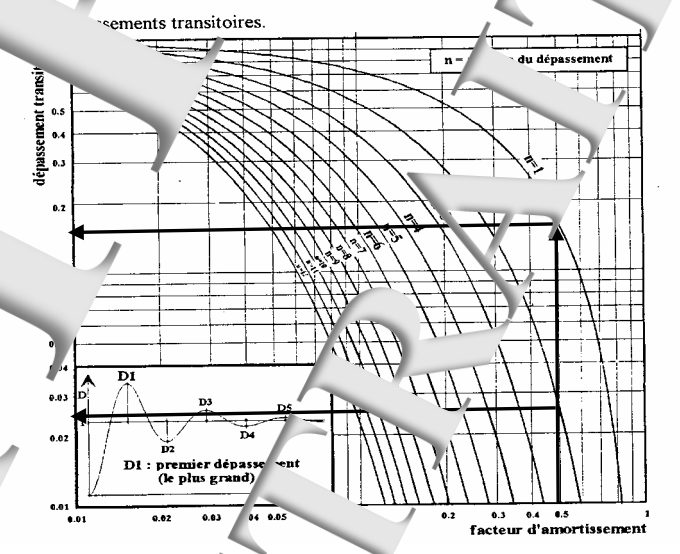
- Premier dépassement D ~ 15=15%
- Deuxième dé sussement:  $D_{2r} \approx 0.025 = 2.5\%$ Seul le premier dépassement est supérieur à 5%

On en déduit le dépas ements en valeur absolue:

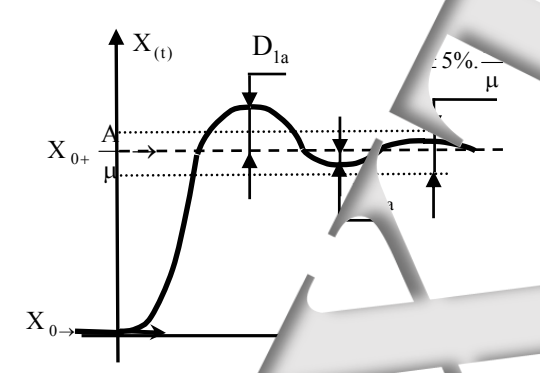
- Premier dépass 1t:  $D_{1a} \approx 0.15(A/\mu)$
- Deuxième dépassement:  $D_{2a} \approx 0.025(A/\mu)$

# Abaque du temps de réponse réduit

SYSTÈME DU 2



#### - Allure de la réponse temporelle



#### Etude de la stabilité

Le système étant du troisième ordre, il eut levenir juste instable pour le vole le particulière du coefficient d'act portionnelle K. C sque est confirmé par a Lyans donnés précédemment; croisement de axe imaginaire par deux e ces lieux.

Si le système est juste instable, la l'Isation des oscillations en L'enue noté  $\omega_{osc}$  et solution de l'équation:

$$Arg[\overline{FTP} \quad ^{-1} - \pi \qquad \qquad -\frac{\pi}{2} \quad ATAN(\omega_{osc}/\omega_{vF}) = -\pi \qquad \longrightarrow \qquad \omega_{osc} \quad \omega_{vF} = 64,5 \text{ rad/s}$$

La valeur critique de K (notée Kc) qui condr it à ce tionnement particulier es

$$\|\overline{\text{FTBQ}_{j\omega_{osc}}}\| = 1 \rightarrow \frac{K}{\omega_{osc}(\sqrt{1 + (\omega_{osc}/\omega_{osc})^2})^2 \omega_{osc}.2} = 1 \rightarrow K_c = 2.\omega_{osc}$$

Application numérique d'après les résu htenus précédemment:  $K_c = 1$ 

# b/ Comportement en régime sinv "dal autour d'une position de r pos

Dans ce cas la consigne a pour expre.

 $C_{(t)} = C_0 + A.\sin(\omega.t) \cdot u_{(t)}$  où  $C_0$  a consigne de repos et est la fonction

On fait  $p=j\omega$  dans la fonction de transfert soil:

$$\frac{\overline{X_{1}}}{C_{1}} = \frac{K_{F}}{1 + 2.\xi_{F}} \frac{j\omega}{\omega_{F}} + \frac{(j\omega)^{2}}{\omega_{F}^{2}}$$

soit le module (rapport de amplitude

$$\left\| \frac{\overline{X_1}}{C_1} \right\| = \frac{K_F}{\sqrt{\left(1 - \left(\frac{\omega}{\alpha_F}\right)\right)^2 + \left(\frac{\omega}{\alpha_F}\right)^2}}$$

et l'argument (ac,

$$\phi_{(X_1/C_1)} = -ATAN \left[ \frac{2.\xi_{F0}}{1 - \left(\frac{\alpha'}{T_F}\right)^2} \right]$$

Dans le cas où c... init  $\omega = \omega_F$  (Pulsation propre) et po

$$\frac{||\overline{X_1}||}{|C|} = \frac{K_1}{\sqrt{(1-(1)^2)^2 + 1^2}} = 1$$

$$\phi_{(X_1/C_1)} = -ATAN \left( \frac{1}{1 - \sqrt{2}} \right) = -\frac{\pi}{2} = -90^{\circ}$$

c/ Comportemen en régime d'échelon / ¿ vitesse npe) à nami d'une position de re pos

Dans ce cas, le sys ème est excité par ur echelon de

$$C_{\ell}$$
 V.t  $x_{(t)}$  s it par transformation

$$C_{(z)} = \frac{1}{p^2}$$

Calcul de l'erreur de traînage à de l'express.

Si on exprime la transformée de l'écart:  $\varepsilon_{(p)} = C_{(p)} - M_{(p)} = \mathcal{C}_{(p)} - O_{(p)}$ .  $\varepsilon_{(p)} \to \varepsilon_{(p)} = \frac{C_{(p)}}{1 + O_{(p)}}$ 

Avec: 
$$O_{(p)} = \frac{M_{(p)}}{\varepsilon_{(p)}} = \frac{k}{p(1+r)\omega_{vF}}$$

Par définition, l'erreur de l'nage c'est: ε<sub>1</sub>

D'après le théorème sur la valeur finale:  $\varepsilon_T = \lim_{t \to \infty} \varepsilon_{(t)} = \lim_{p \to 0} (p.\varepsilon_{(p)})$ 

$$\varepsilon_{T} = \lim_{p \to 0} \left( p \left[ \frac{1}{1 + \frac{1}{(1 + p/\omega_{vF})^{2}}} \right] \frac{V}{p^{2}} \right) = \lim_{z \to 1} \frac{1}{n + \frac{1}{p(1 + p/\omega_{vF})^{2}}} V$$

Si on fait p = 0

$$\varepsilon_{\rm T} = \frac{\rm V}{\rm k}$$

A plication numérique:

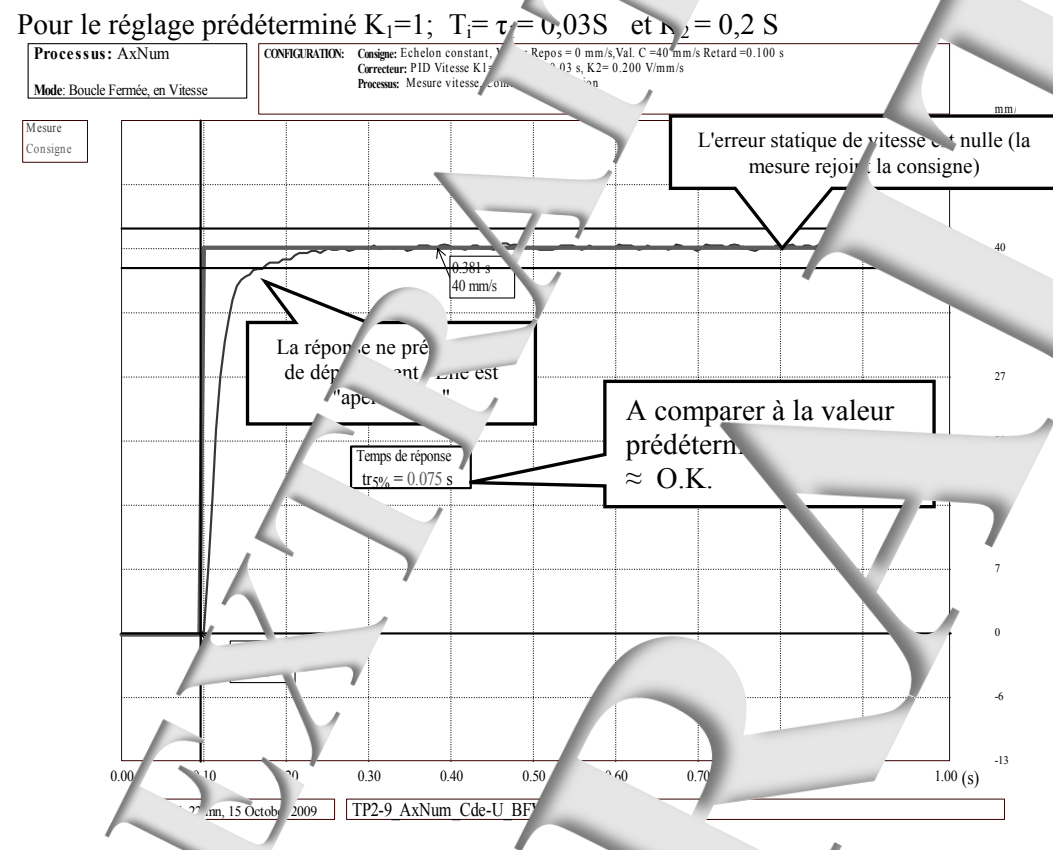
Pour Y = 85 mm/s $K=K_2=25,7 \text{ mm/s/mm}$ 

on ob ent:

# 2. Expérimentations et exploitation

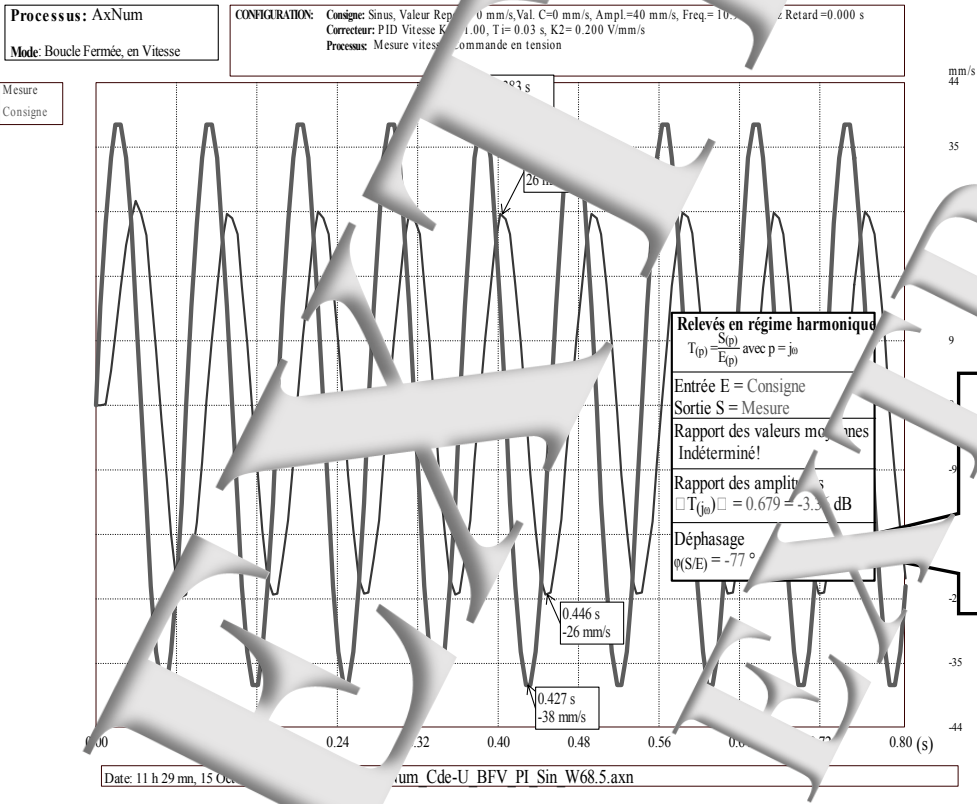
# 2.1. Expérimentation de la boucle interne (boucle de messe)

# 2.1.1. Réponse à un échelon consta it



#### 2.1.2. Réponse à une excitation si soïdale à la <u>n propre</u>

Consigne



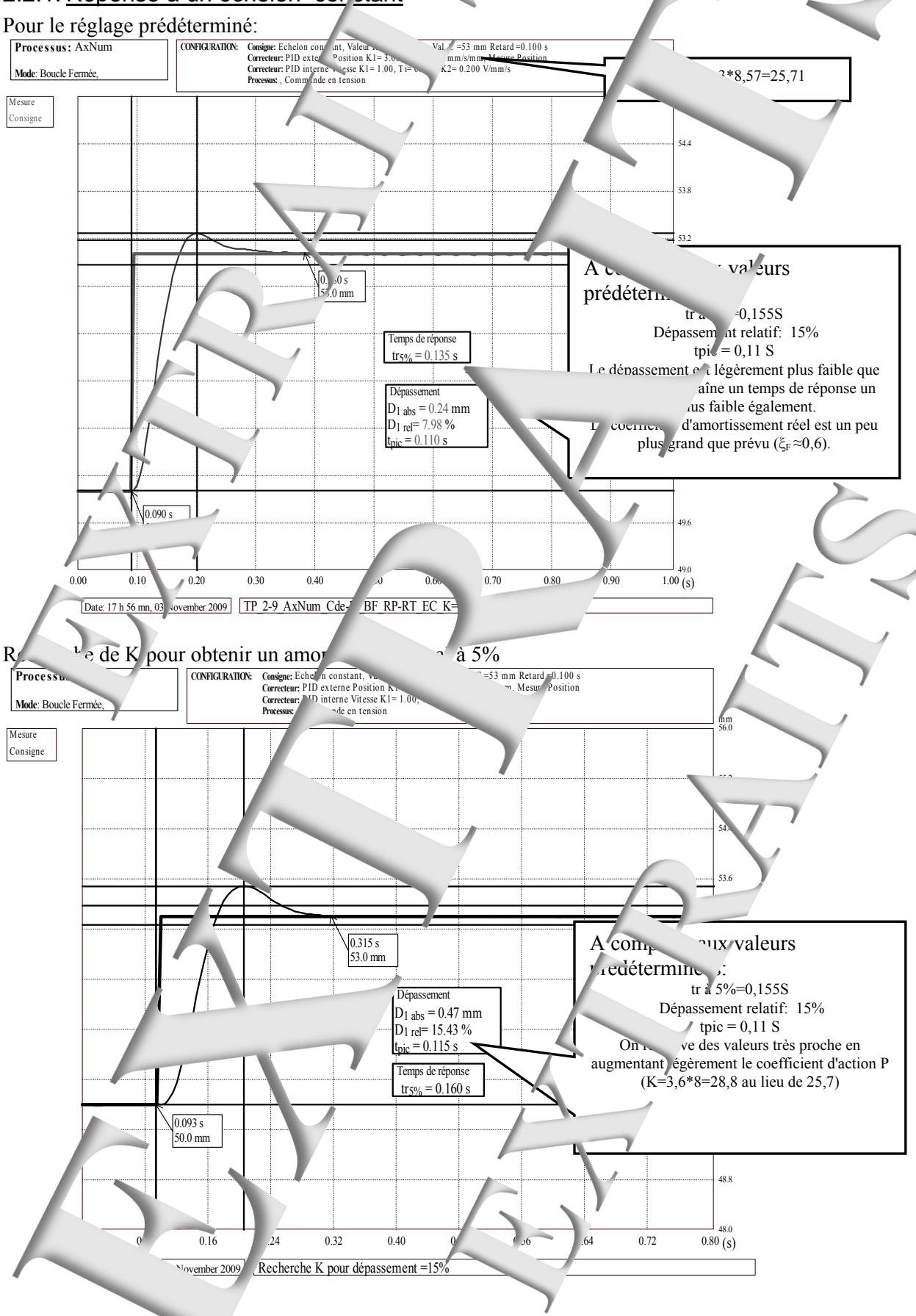
A comparer aux valeurs rédéterminées:

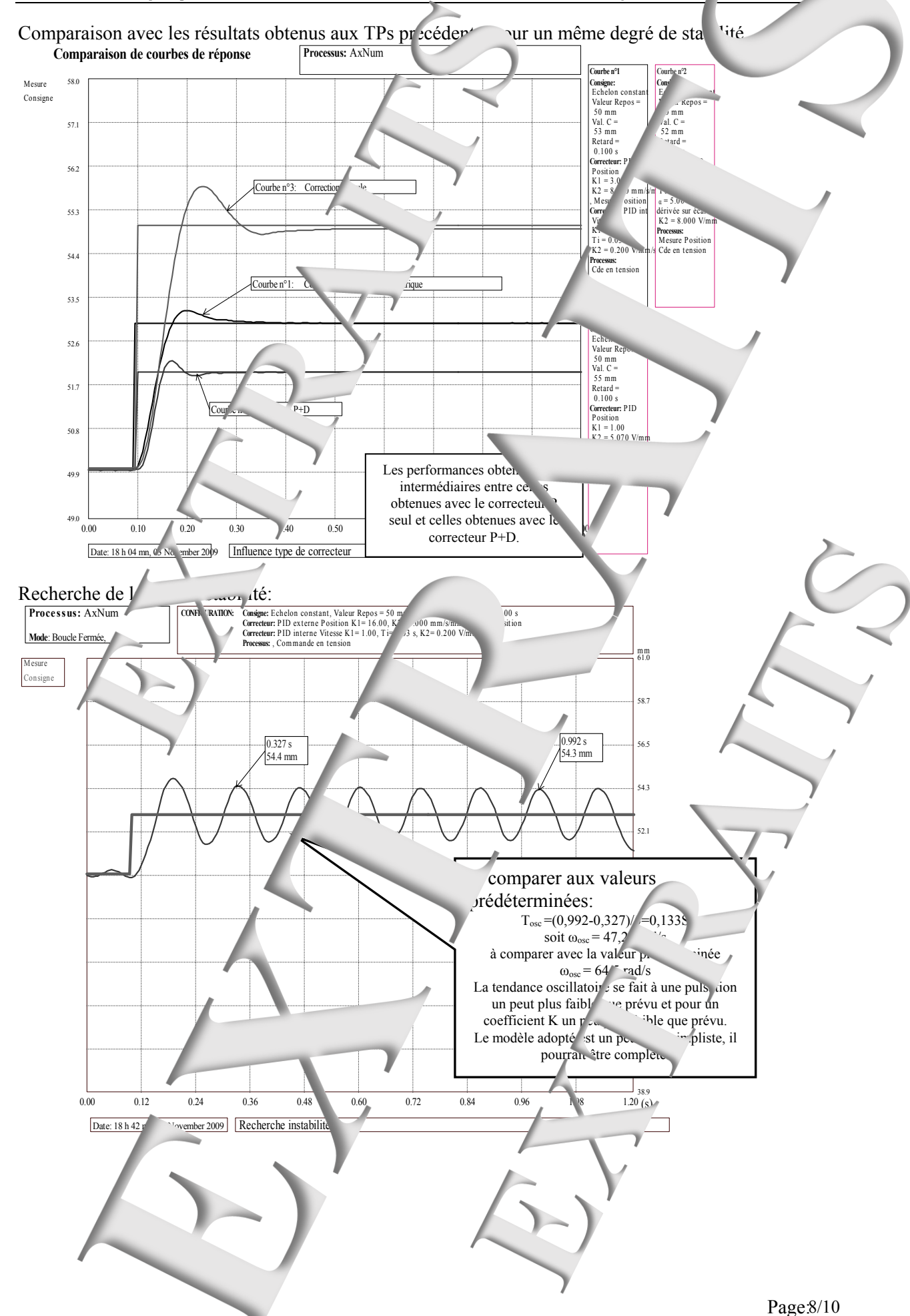
Rapport des amplitudes: 0,5 Déphasage:  $-90^{\circ}$ La pulsation de l'essai est un peu faible par rapport la pulsation propre réelle.

Page:6/10

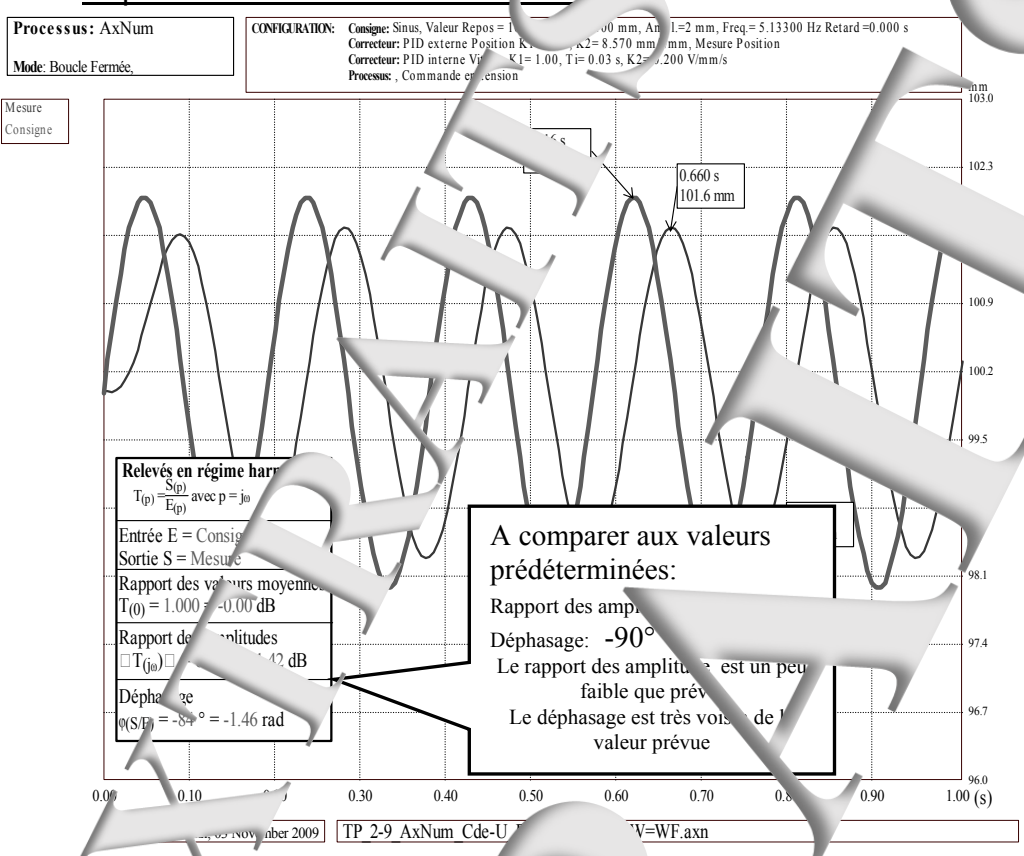
#### 

#### 2.2.1. Réponse à un échelon con stant

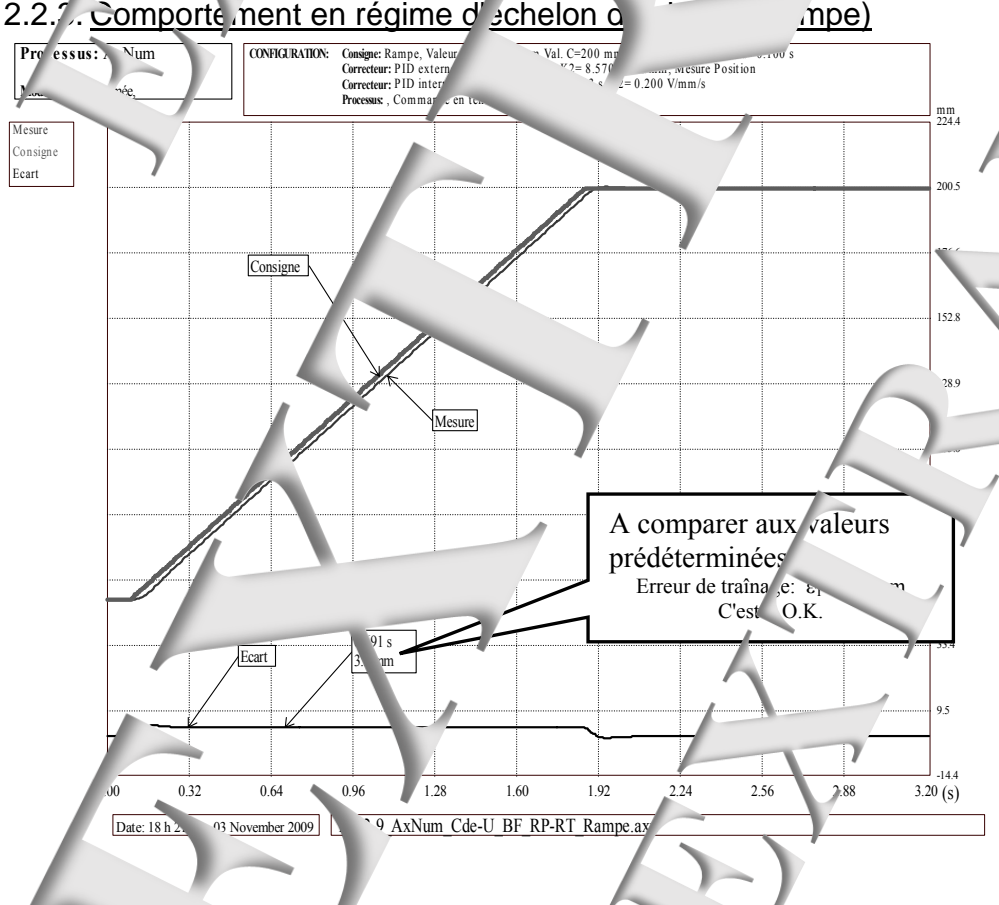




### 2.2.2. Réponse à une excitation sinusoïdal



# . Comporte nent en régime d'echelon a



# Comparaison avec les résultats obtenus aux TPs pr .s, po ir un même degré de stab Comparaison de courbes de réponse Processus: AxN Consigne 180.0 155.0 Retaro 0.100 s Correcteur: PID Position K1 = 1.00 K2 = 5.070 V/mm 130.0 Pos. K1 = 3.00 K2 = 8.570 mm 55.0 , Mesure Position Correcteur: PID int Processus: Mesure Position Cde en tension 30.0 Ecart 20.0 Courbe n°3 Consigne: Rampe Valeur Repos = 50 mm Val. C= 200 mm Courbe n°2: Corrected action P seu 12.0 Courbe n°1: Corre -4.0 action P+D -8.0 C'est le correcteur P+D -12.0 dérivée sur écart K2 = 8.000 V/mm conduit à l'erreur de Processus: Mesure Position traînage la plus faible 0.00 1.28 Date: 18 1/28 mn, 03 Novembs 2009 Influence type de correcteur Page:10/10

## Compte-Rendu

de Travaux Pratiques sur système AxNum (ERD150)

# Niveau 2 TP $N^{\circ}$ 2-12

Réf fich: TP2-12\_AxNum\_Cde-I\_PR-2\_CR.word

# Prototypage Rapide, moteur alin enté e

Réf: Cde-I\_F 2

- → A: \*\*rterface de puissance de type " .ommande en Couran.

## Rappel du but du TP:

Le but du TP est de faire la synthèse du syste de l'outil de simulation «Scilab-Xcos».

Les résultats de simulation serort confrontés au comportement du proc ssus réel qui sera expérimen é grâce au logiciel de contrôle commande d'a, \_\_\_\_\_\_ (D\_CCA» développé po \_\_\_\_\_\_idalab» et appelé dans le cas du système « AxNum » «D\_AXNUM».

C'est le logiciel «D\_Scil», développé pur «Didalab» qui réalise l'interface vulation et l'expérimentation du processus.

La particularité de ce TP 2-12, ir rapport au TP 2-10 est que, le cas présent, la con, du frottement sec est désactivée.

# 1. Modification du . odèle obtenu lors du TP 2-10

# 1.1. Exprime. Cons sous D-Axnum

- On a déterr iné les courants de démarrage (valeurs limites qui e mettent le démarrage du chariot) :

Sr = 108mA pour Vitesse N>0 et Sr=-90 mA pour Vitesse N<0

 $\rightarrow$  Soit ··· enne Sr = 98mA

# 1.2. <u>Exploitation / modélisa</u> ...

→ R' ppel de la ca actéristique idéalisée au couple re C'est une caracéristique non linéaire e arties :

- $\rightarrow$  S. alors Cr est sensiblement co.  $\frac{1}{3}$  Cs
- $\rightarrow$  Si V = J alors Cr = C<sub>moteur</sub> Fonctionnement statique ar  $\infty$  égalité Action = Re. On
- → Rappel du système de fonct vns de transfert

L'asservissement en courant e

$$I_{m(t)} = 1. Sr_{(t)}$$
 ]  $n(p)$ 

Le couple électro-magnétic le dévelopment de dévelopment de development de dévelopment de development de develo

**km** la constante de couple  $(km = 43.10^{-3} \text{ N.} \text{ A})$ 

$$C_{m(t)}\!=K_m$$
 ,  $n_{(t)}$  ]  $C_{m(p)}\!=K_m$  ,  $I_{m(p)}$ 

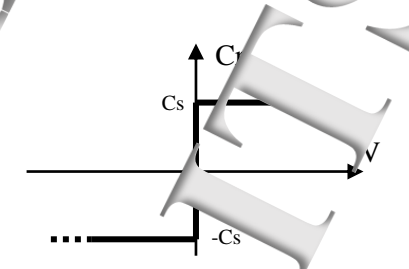
Le passage de la vitesse de rotation en rad/s au niveau de l'arbre moteur à la vitesse de déplicement du chari mobile d'après les hypothèses énon sacci no dest donné en mm?

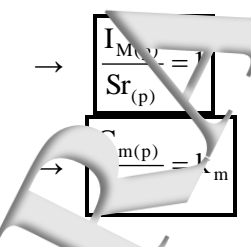
$$V_{(t)} = r.$$
 (2).  $\Omega_{m(p)}$ 

L'équation fondamentale de la vnamique:

$$C_{m(t)}$$
 - f.  $\Omega_{m(t)}$ -Cs.  $signe(\Omega_m)$  J.d $\Omega_m$ /dt

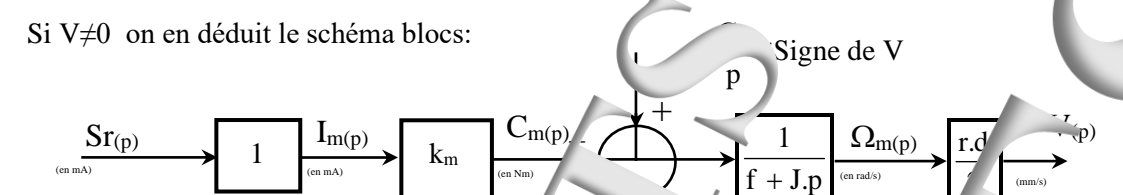
] 
$$C_{m(p)} - \frac{Cs}{p}$$
 Signe  $(\Omega_m)$  J.p. $\Omega_{m(p)}$ 



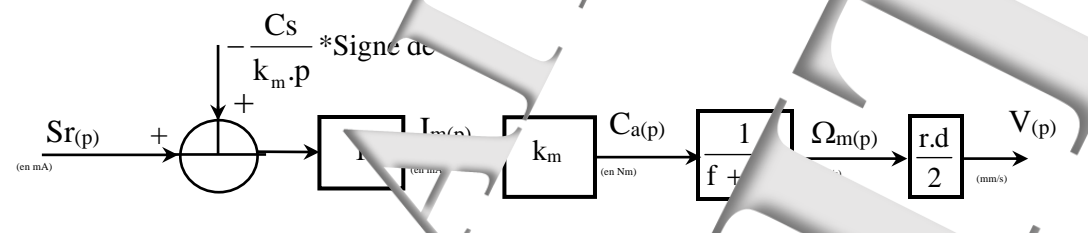


$$\rightarrow \boxed{\frac{\mathbf{v}_{(j)}}{\Omega_{\mathrm{m(p)}}} = \frac{\mathrm{r.d}}{2}}$$

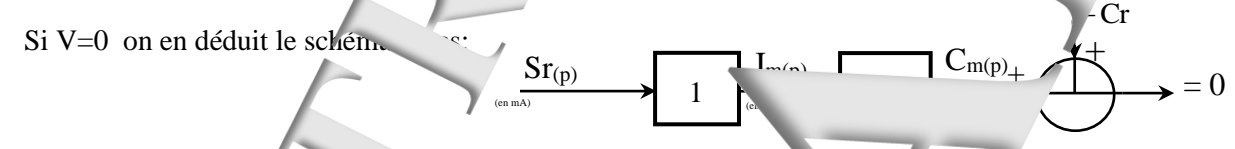
$$\frac{\Omega_{m(p)}}{C_{m(p)} - \frac{Cs}{p} * signe (\Omega_m)} = \frac{1}{f + J.p}$$

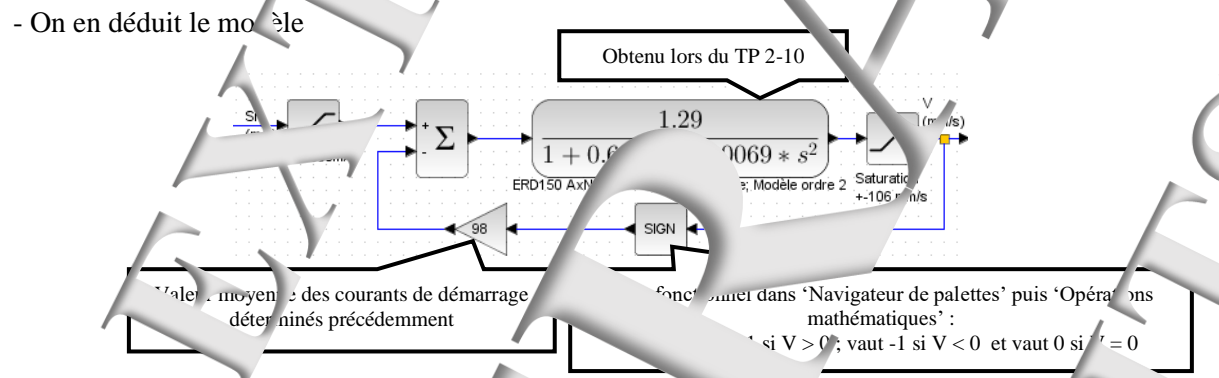


Ce schéma-blocs peut être transformé comme suit :



Or Cs/k<sub>m</sub> n'est autre que le cour. t de dé narrage

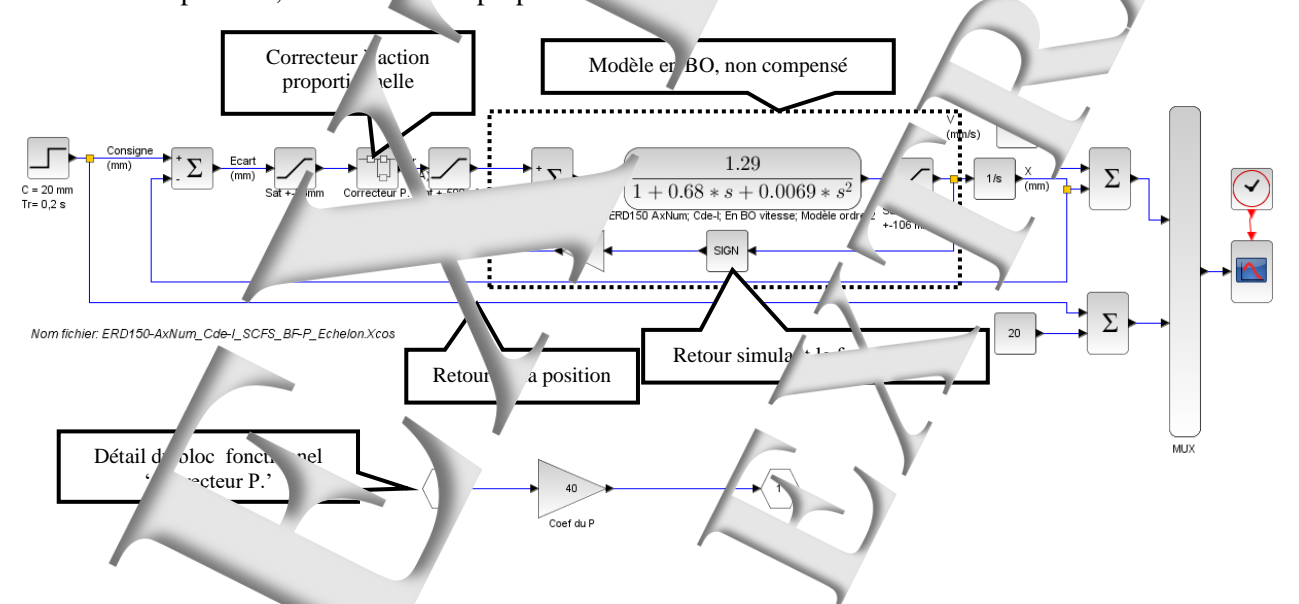




# 2. Prototypage en boucle fermée position avec correcteur i

# 2.1. Etablissement du

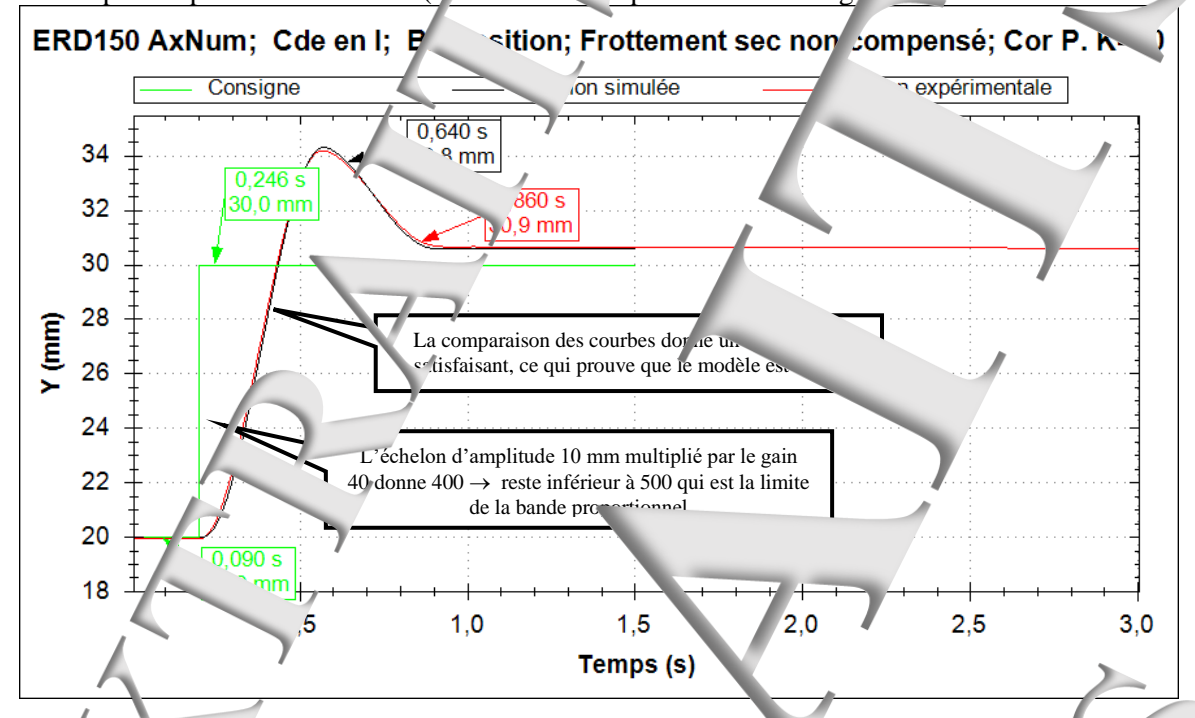
Modèle du système étudié, avec commande en courant, sans compensation du fivillement sec, en boucle fermé position, avec corre leur proporties

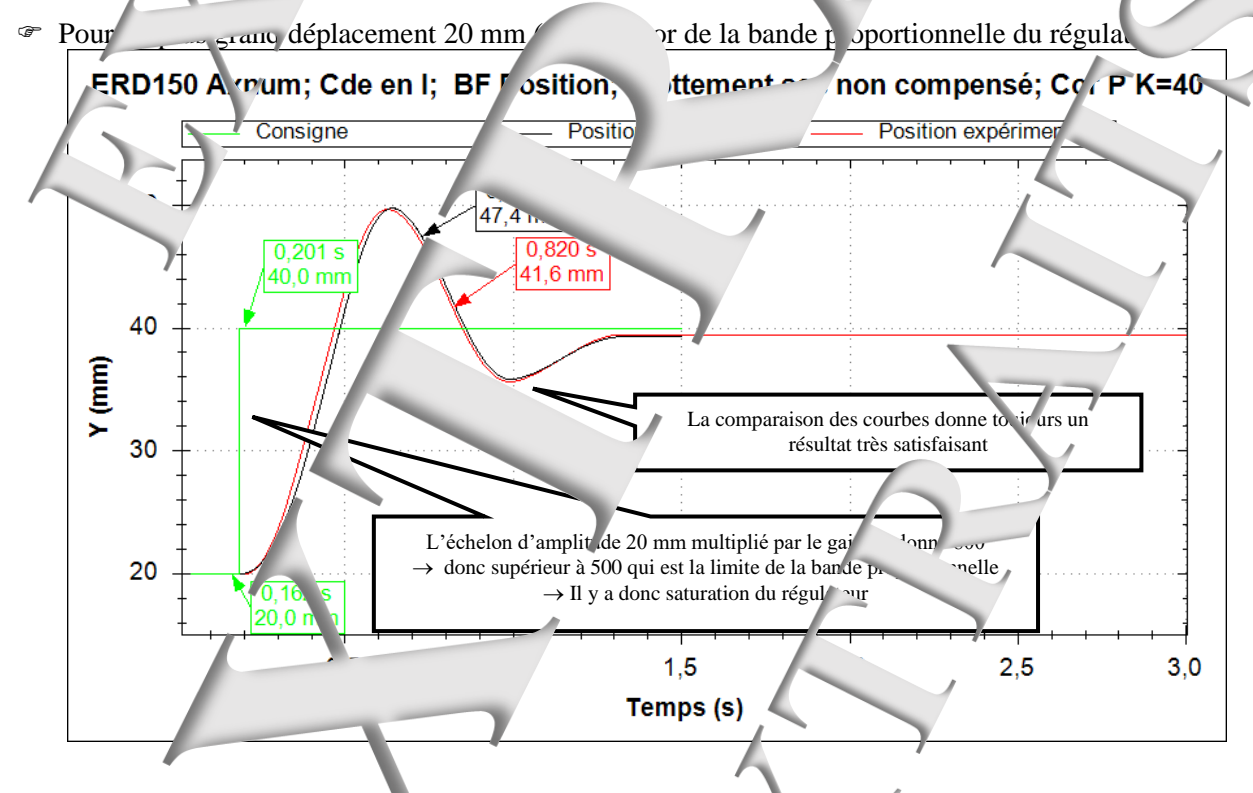


Page: 2/6

# 2.2. Résultat de simulation, synt et comparaisor

Pour un petit déplacement 10 mm (dans la bander oportionnelle du régy

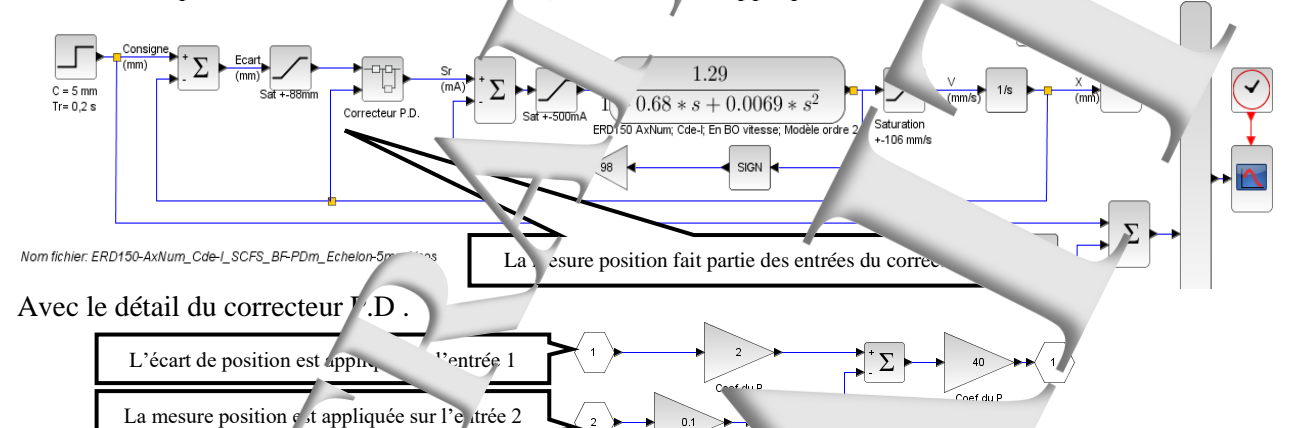




# 3. Prototypage en boucle ferme sit on avec correc .D.

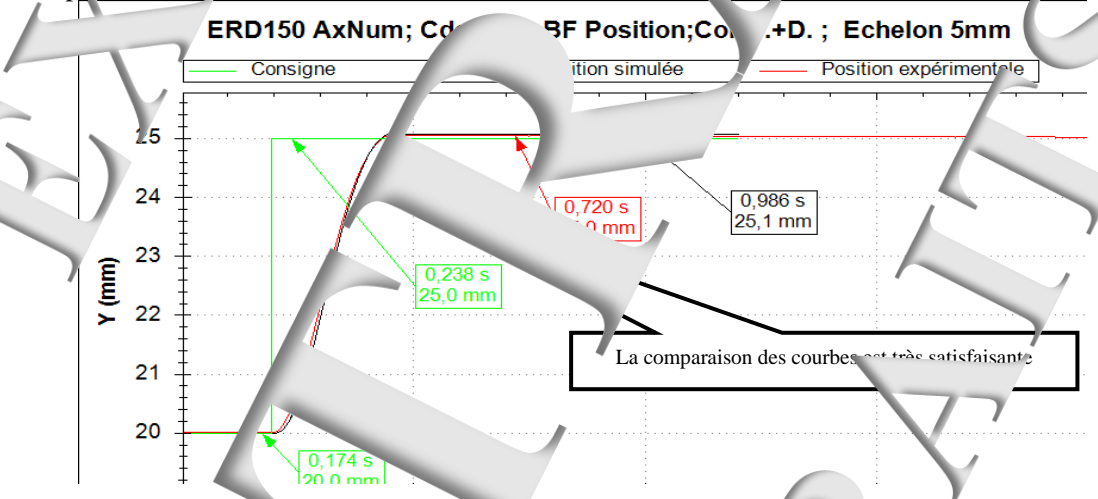
# 3.1. Etablissement du modèle

Modèle du système étudié, avec commande du mo courant, sans comper on du frottement sec, en boucle fermé position, avec correcteur P.D. (action der. ée appliquée sur la r

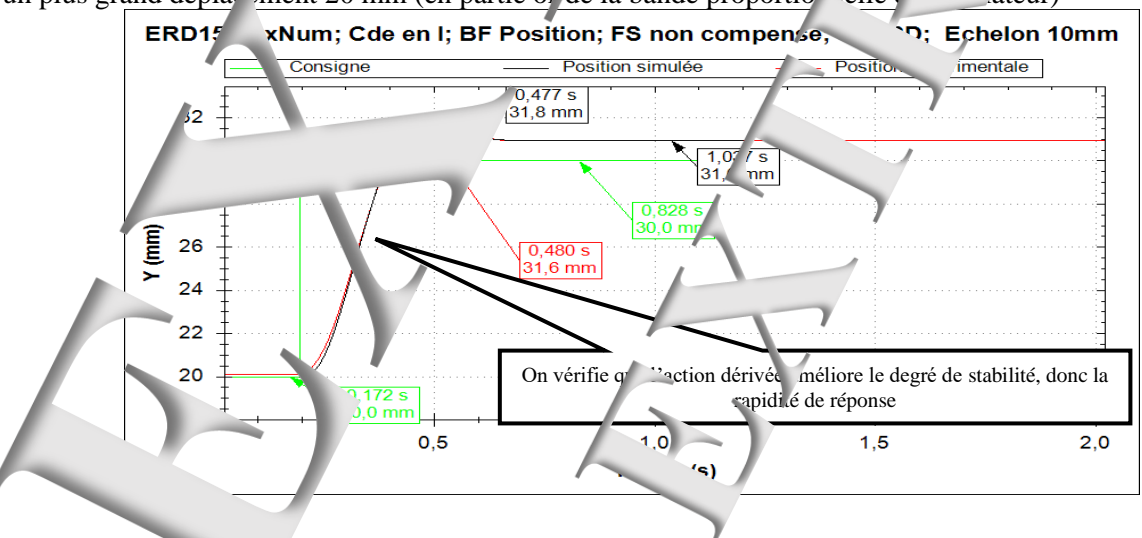


# 3.2. Résultats de simulation, synthèse et con paraison

Pour un petit déplacement 5 mm (dans la bandeproportionnelle du regulateur)



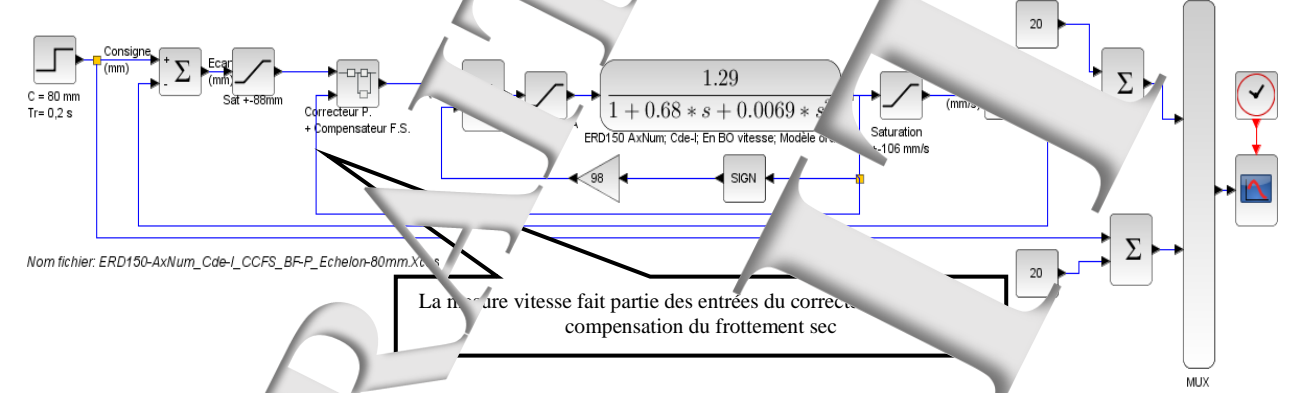
Pour un plus grand déplacement 20 mm (en partie of de la bande proportion nelle contacteur)



Page: 4/6

# 4. Prototypage en boucle fermé position avec compensateur de frontement sec (CFC),

# 4.1. Etablissement du manique

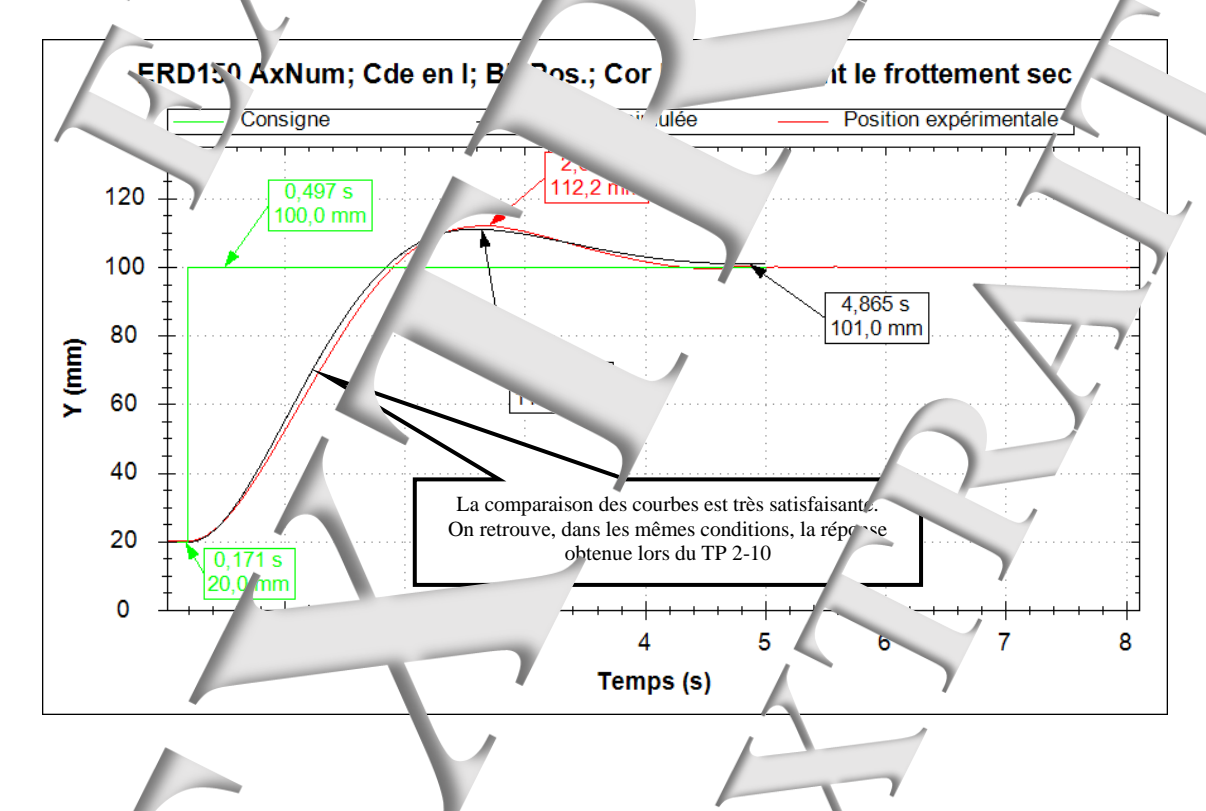


Détail du bloc fonction. Precteur P. + Compensateur F.S.



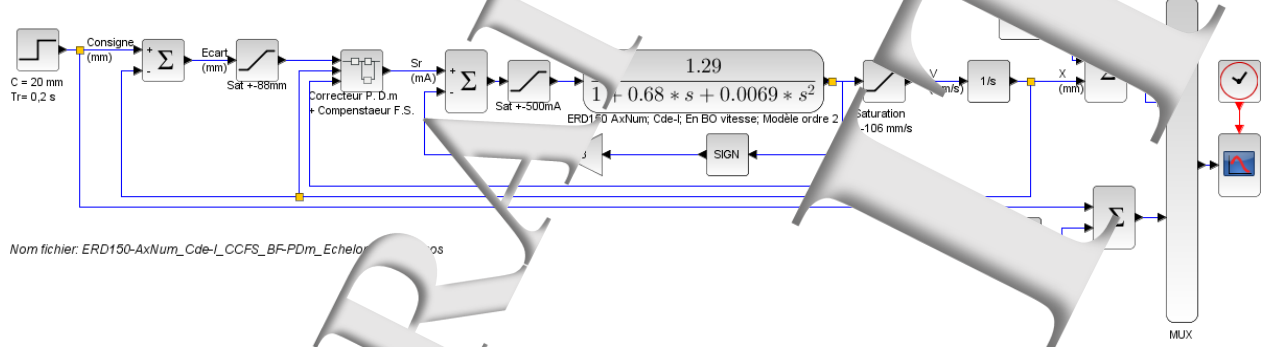
# 4.2. Lourars de simulation

# ese et con paraison

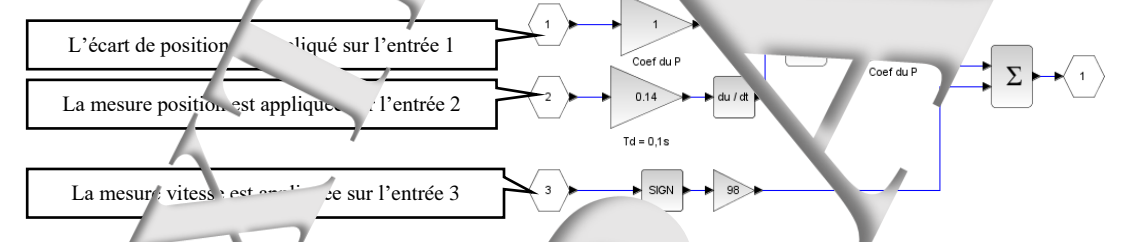


# 5. Prototypage en boucle ferme seit on avec correction. De et réalisant une compensateur du fraitement sec ( .TS)

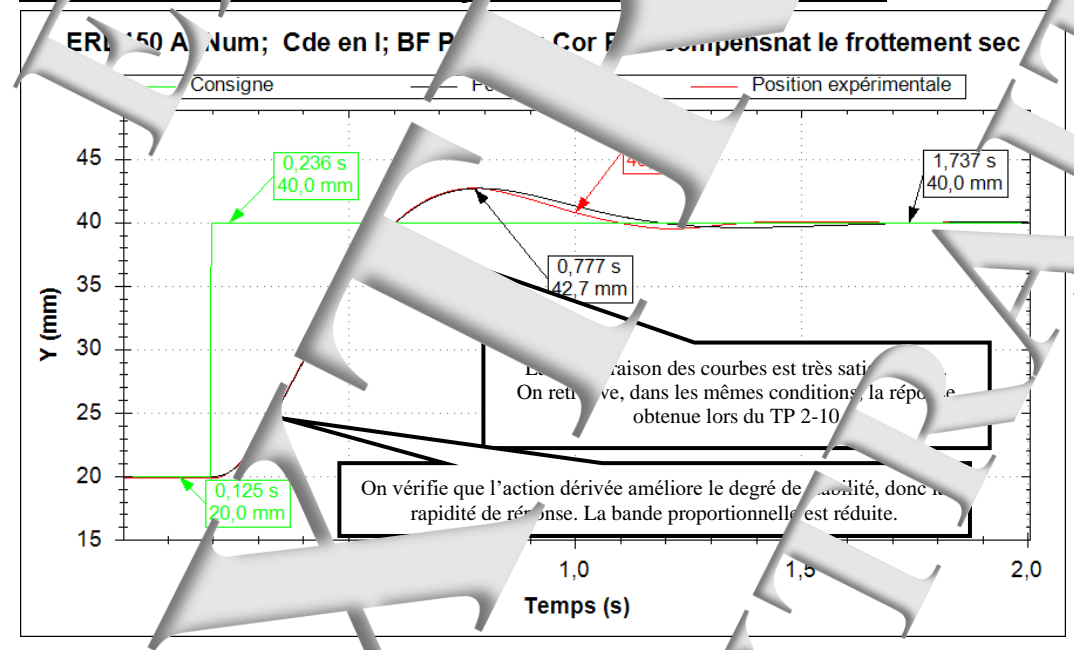
# 5.1. Etablissement du modè'e

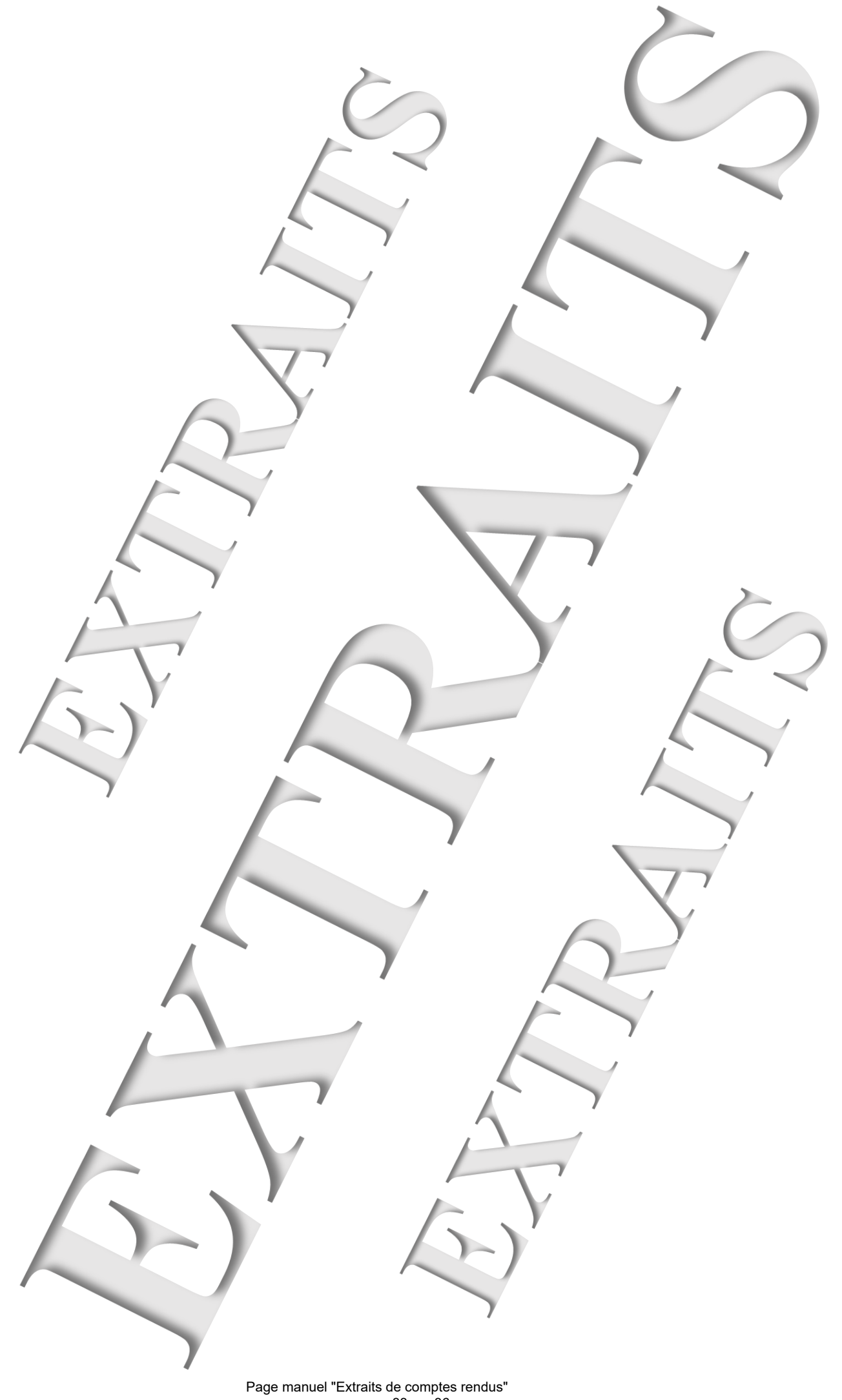


Détail du bloc fonctionne<sup>1</sup> 'Correc D. m + Compensateur F.S.'

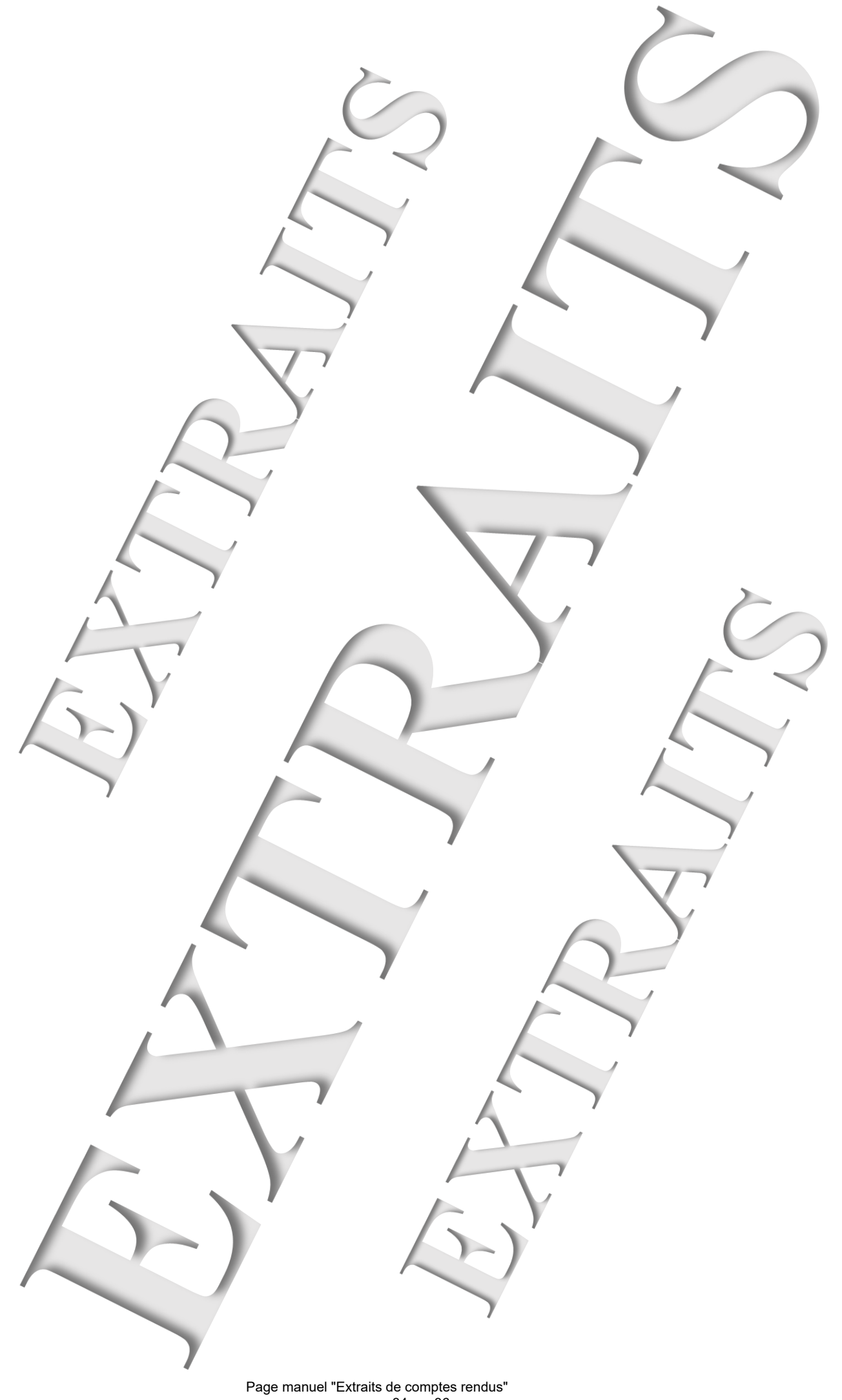


# 5.2. Ré ultat de simulation, sy thèse com ison





Page manuel "Extraits de comptes rendus" 33 sur 36



Page manuel "Extraits de comptes rendus" 34 sur 36



